

كلية العلوم

القسم : الفيزياء

السنة : الرابعة



٩



المادة : حالة صلبة ٢

المحاضرة : +٣+٢+١ / نظري /

{{{ مكتبة A to Z }}}  
مكتبة A to Z

2025 2024

Facebook Group : A to Z مكتبة A to Z

كلية العلوم ، كلية الصيدلة ، الهندسة التقنية

يمكنكم طلب المحاضرات برسالة نصية (SMS) أو عبر (What's app-Telegram) على الرقم 0931497960



**الخصائص الكهربائية للفلزات - التقرير التقليدي****Electric Properties of Metals: Classical Approach****مقدمة:**

من ضمن ما سندرسه في هذا المقرر **الخصائص الكهربائية للفلزات، وأنصاف النوافل، والعوازل:**

- من الممكن أن نؤكد أن الفلزات هي **نوافل جيدة للحرارة والكهرباء** في حين أن **أنصاف النوافل والعوازل ليست كذلك**. ففي حالة **الناقلية الحرارية Heat Conduction**, وجد، أنَّ الألماس الذي يُعد عازلاً كهربائياً، ينقل الحرارة بطريقةٍ، أفضل حتى من معظم الفلزات؛ فضلاً عن أن **الناقلية الكهربائية Electrical Conductivity** لا تساعد كثيراً في هذا السياق أيضاً: فبعض **أنصاف النوافل**؛ كبلورة السيلكون، تنقل الكهرباء جيداً.
- وثمة إمكانية أخرى، تكمن في تعين الفلزات على أنها مواد **"لماء"** "Shiny" أو **"معدنية"** "Metallic". ولكن هذا الكلام ينطبق على بعض **أنصاف النوافل** أيضاً، ومثال على ذلك **نأخذ بلورة السيلكون** أيضاً.
- فقد اتضح أن تعريفاً دقيقاً للفلزات وأنصاف النوافل والعوازل يحتاج إلى معالجة الحالات الإلكترونية في إطار الميكانيك الكوانتي. نبدأ في هذا الفصل بدراسة التوصيف التقليدي للفلزات.

**1-5 الفرضيات الأساسية لنموذج درودي التقليدي :Basic Assumptions of the Drude Model**

افتراض درودي في عام 1900م بعد ثلات سنوات من اكتشاف تومسون للإلكترون نموذجاً بسيطاً لتقدير العديد من خصائص الفلزات، حيث دمج درودي في نموذجه مسألة وجود الإلكترونات كحاميات للشحنة الكهربائية مع النظرية الحرارية للغازات التي حققت نجاحات كبيرة. سنرى لاحقاً، أن نموذج درودي يكتفي الكثير من العيوب، ولكن أهميته بالنسبة للمفاهيم المرتبطة بالناقلية الكهربائية تبقى سارية المفعول.

يستند هذا النموذج إلى الفرضيات الآتية:

**٥ الفرضية الأولى - تسلك الإلكترونات في الجسم الصلب سلوكاً مشابهاً لسلوك الغاز المثالي التقليدي:**

فهي لا تؤثر في بعضها البعض على الإطلاق: فتفاعل كولون غير موجود هنا، وخلافاً لنموذج الغاز التقليدي، لا تتصدم هذه الإلكترونات بعضها بعضاً. وهذا ما يُعرف بـ**تقريب الإلكترون المستقل Independent Electron Approximation**. سنرى لاحقاً، أن هذا التقرير مقبول جداً: فالإلكترونات فعلياً، لا تتأثر كثيراً مع بعضها البعض.

**٥ الفرضية الثانية - تتواءم الشحنة الموجبة على القلوب الأيونية غير المتحركة؛ حيث تتصادم الإلكترونات**

**معها:**

فهذه التصادمات تغير سرعات الإلكترونات لحظياً، ولكن ما بين التصادمات، لا تتفاعل الإلكترونات مع الأيونات، وهذا ما يُعرف بـ**تقريب الإلكترون الحر Free Electron Approximation**، وسنرى أن هذا التقرير ليس جيداً جداً: في حقيقة الأمر، كامل مشهد الإلكترونات المتصادمة مع الأيونات مسار جدل وغير محسوم. في جسم صلب متبلور مثالي لا تتأثر الإلكترونات في درجات الحرارة المنخفضة مع الأيونات على الإطلاق، كما سنرى لاحقاً.

- ٥ الفرضية الثالثة- **تبغ الإلكترونات حالة التوازن الحراري مع الشبكة البلورية عن طريق تصداماتها مع الأيونات**، وتبعاً لنظرية التوزيع المتكافئ في الفيزياء الإحصائية، تساوي الطاقة الحركية الوسطية **للإلكترونات** طاقتها الحرارية الوسطية، ومن ثم:

$$\frac{1}{2}m_e v_t^2 = \frac{3}{2} k_B T. \quad (1-5)$$

ما يؤدي إلى سرعة وسطية في درجة حرارة الغرفة، تساوي  $v_t \approx 10^5 \text{ m/s}$ .

- ٦ الفرضية الرابعة- **تتحرك الإلكترونات في المسافة الفاصلة بين التصادمات بحربيّة**، ويسمى طول مسار هذه الحركة **مساراً حرّاً وسطياً** *Mean Free Path* ويرمز له بالرمز  $\lambda$ ؛

فإذا علمنا كثافة التراص النموذجية للأيونات، نستطيع تقدير طول المسار الحر الوسطي بالقيمة  $\lambda \approx 1 \text{ nm}$ . وإذا أخذنا بالحسبان السرعة الوسطية،  $v_t$ ، لحركة الإلكترونات، فإن المسار الحر الوسطي يوافق أيضاً **زمناً وسطياً**، يفصل بين التصادمات، يعطى بالعلاقة  $\tau = \lambda / v_t$ ، حيث يسمى المقدار  $\tau$  **زمن الاسترخاء** *Relaxation Time* ويؤدي دوراً أساسياً في النظرية المعتمدة هنا؛ فمن أجل  $\lambda \approx 1 \text{ nm}$  و  $v_t \approx 10^5 \text{ m/s}$  في درجة حرارة الغرفة، نجد أن زمن الاسترخاء يساوي  $\tau \approx 1 \times 10^{-14} \text{ s}$ .

إن توصيف معظم خصائص الأجسام الصلبة في إطار نموذج درودي يستوجب معرفة كثافة الغاز المتشكل من الإلكترونات الحرّة، والتي تُعرف بما يسمى **كثافة الإلكترونات الناقلة** *Conduction Electron*:

أي عدد الإلكترونات الناقلة الموجودة في حجم الجسم الصلب المدروس:  $n$ ، *Density*، ثُحسب الكثافة  $n$  من خلال فرض أن كل ذرة تُسمى بـ  $Z_V$  إلكترون ناقلة، أي بـ الإلكترونات مدارها الخارجي، في الروابط الفلزية. طبعاً، تبقى الإلكترونات القلوب الذريّة مرتبطةً بالأيونات الفلزية؛ فمن أجل الفلزات القلوية، يساوي العدد  $Z_V$  إلى الواحد ( $Z_V = 1$ )، والفلزات الترابية القلوية  $Z_V = 2$ ، وهكذا دواليك:

توجد  $\frac{\rho_m}{M}$  ذرة في المتر المكعب، حيث  $\rho_m$  كثافة الجسم الصلب مقدرةً بوحدة القياس  $\text{Kg/m}^3$  و  $M$  الكتلة الذريّة مقدرةً بوحدة القياس  $\text{Kg/atom}$ . ومن ثم تساوي كثافة الإلكترونات الناقلة،  $n$ ، إلى  $Z_V \rho_m / M$ .

**الجدول (1-5):** عدد الإلكترونات الناقلة لكل ذرة  $Z_V$ ، وكثافة الإلكترونات الناقلة المحسوبة  $n$ ، ومعامل هول المحسوب  $R_H$  لبعض الفلزات.

Metal	$Z_V$	$n(10^{28} \text{ m}^{-3})$	Measured $R_H$ divided by $-1/ne$
Li	1	4.7	0.8
Na	1	2.7	1.2
K	1	1.3	1.1
Rb	1	1.2	1.0
Cs	1	0.9	0.9
Cu	1	8.5	1.5
Ag	1	5.9	1.3
Be	2	24.7	-0.2
Mg	2	8.6	-0.4
Al	3	18.1	-0.3
Bi	5	14.1	$\approx 40\ 000$

والجدول (1-5) يستعرض قيم كثافة الإلكترونات الناقلية،  $n$ ، من أجل بعض الفلزات.

## 2-5 نتائج نموذج درودي :Results from Drude Model

لقد أظهرنا، كيف يمكن تفسير بعض خصائص الفلزات بنموذج درودي.

### 1-2-5 الناقلية الكهربائية في حالة التيار المستمر :DC Electrical Conductivity

لتفسير الناقلية الكهربائية للفلزات في حالة التيار المستمر (الناقليّة DC اختصاراً)، ندرس سلوك الإلكترونٍ عند تطبيق حقل كهربائي،  $\vec{E}$  حيث تأخذ معادلة الحركة الشكل الآتي :

$$m_e \frac{d\vec{v}}{dt} = -e \vec{E}, \quad (2-5)$$

التي حلها يأخذ الشكل:

$$\vec{v}(t) = \frac{-e \vec{E} t}{m_e}, \quad (3-5)$$

هذا يعني أن حركة الانسياق المتسارعة تكون في اتجاه معاكس لاتجاه الحقل الكهربائي المطبق. إذا فرضنا أن الحركة الانسياقية، تدهورت في تصادم مع الأيونات وأن الزمن الوسطي من أجل انسياق- خالٍ من التصادم، يساوي  $\tau$  ، فإن سرعة الانسياق الوسطية، تساوي :

$$\bar{v} = -\frac{e}{m_e} \tau \vec{E}. \quad (4-5)$$

يمكّنا تقدير رتبة المقدار  $|\bar{v}|$  بالشكل الآتي: فمن أجل حقل كهربائي يساوي  $\vec{E} \approx 10 \text{ V/m}$

$$|\bar{v}| = 0.01 \text{ m/s}$$

وهي حركة بطيئة جداً بالمقارنة مع الحركة الحرارية لـإلكترونات. وهذه النتيجة تحقق نموذجنا البسيط، لأن مثل هذه الحركة الانسياقية الناتجة عن تطبيق الحقل الكهربائي، لن يكون لها تأثيراً مهماً على زمن الاسترخاء.

يمكّنا حساب الناقلية الكهربائية من خلال معرفة سرعة الانسياق، ولفعل ذلك، ندرس مساحة،  $A$ ، عمودية على الحقل الكهربائي:

يساوي عدد الإلكترونات الذي يخترق المساحة  $A$  في وحدة الزمن إلى:

$$n |\bar{v}| A \quad (5-5)$$

ولذلك، كمية الشحنة التي تخترق تلك المساحة تساوي:

$$-en |\bar{v}| A \quad (6-5)$$

وفي هذه الحالة، نستطيع حساب الكثافة السطحية للتيار الكهربائي بالعلاقة:

$$\vec{j} = -en \bar{v}, \quad (7-5)$$

وبأخذ العلاقة (4-5) بالحساب، نحصل على العلاقة الآتية:

<sup>1</sup> شحنة الإلكترون هنا وفي كامل المقرر تساوي  $-e$ .

<sup>2</sup> ليس واضحاً، أن العلاقة (4-5) هي نتيجة صحيحة من أجل سرعة الانسياق الوسطية. يمكن التفكير بأنها كبيرة جداً بمقدار العامل 2.

$$\vec{j} = \frac{ne^2\tau}{m_e} \vec{E} = \sigma \vec{E} = \frac{\vec{E}}{\rho}, \quad (8-5)$$

وهذا يعني أن كثافة التيار، تكون في اتجاه الحقل الكهربائي وتتناسب مع شدته تناسباً طردياً. تُعرف هذه النتيجة بـ**قانون أوم وثابت التناسب**،  $\sigma$ ، يسمى **الناقلية الكهربائية النوعية** (اختصاراً، الناقلية النوعية) *Conductivity* للمادة؛ ومقلوبه،  $\rho$ ، يسمى **المقاومة الكهربائية النوعية** (اختصاراً، المقاومة النوعية) *Resistivity* للمادة.

لندرس الآن العلاقات الواضحة من أجل الناقلية والمقاومة النوعيتين اللتان حصلنا عليهما. فالناقلية النوعية

تساوي:

$$\sigma = \frac{ne^2\tau}{m_e}, \quad (9-5)$$

والمقاومة النوعية تساوي:

$$\rho = \frac{m_e}{ne^2\tau}. \quad (10-5)$$

- نلاحظ هنا، أن الشحنة الأولية،  $e$ ، تظهر مُربعَةً في هاتين المعادلتين، وسبب ذلك، يكمن في أنها ضرورية لارتباط  $\sigma$  و  $\rho$  بالحقل الكهربائي، الذي يحافظ على مسار الإلكترونات على طوله، ولتعيين التيار الكهربائي أيضاً.
- وحقيقة أنها مُربعَة، تعني أننا نحصل على نفس النتيجة من أجل حاملات الشحنة الكهربائية، سواء من أجل شحنة موجبة،  $+e$ ، أو من أجل شحنة سالبة،  $-e$ .
- ثمة تعريف مفيد آخر - تعريف حركية *Mobility* الإلكترونات التي نرمز لها بالرمز  $\mu$ . ثُطعى الحركية المذكورة بالعلاقة الآتية:

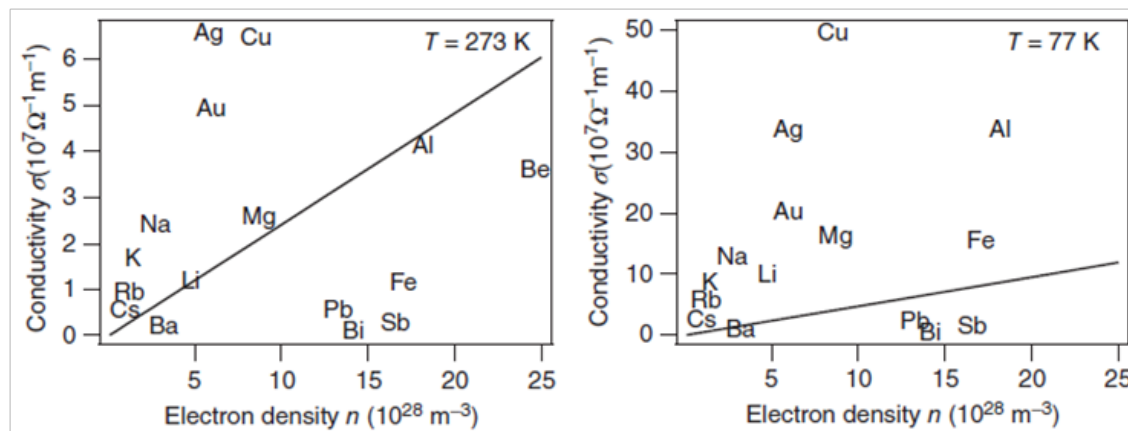
$$\mu = \frac{e\tau}{m_e}, \quad (11-5)$$

وبالطبع، يمكن تعريف الناقلية والمقاومة النوعيتين أيضاً بدلة الحركية حيث نجد:

$$\sigma = n\mu e, \quad \rho = \frac{1}{n\mu e}. \quad (12-5)$$

السؤال الذي يطرح نفسه هنا، لماذا نحتاج إلى هذا التعريف؟.

يمكن أن يكون مفهوم الحركية مفيداً من أجل الأجسام الصلبة التي يمكن أن يتغير تركيز الإلكترونات فيها نتيجةً لتأثير متحول خارجي ما، من دون أن تتغير آلية التبعثر *Scattering Mechanism* في الجسم الصلب، أي من دون أن يتغير زمن الاسترخاء. وللحركية معنى فيزيائي بسيط أيضاً: فهي نسبة سرعة انسياق حاملات الشحنة إلى الحقل الكهربائي المطبق والتي نحصل عليها من تقسيم طرفي العلاقة (8-5) على المقدار  $ne$ .



**الشكل (1-5):** الناقليات الكهربائية المقاسة والمحسوبة للفلزات كتابع لكتافة الإلكترونات الناقليات من أجل درجتي حرارة مختلفتين. تمت الإشارة إلى القيم المقاسة بأسماء العناصر وإلى الحسابات بخطوط مستمرة.

بهذا الشكل، نجد أن نموذج درودي يُفسّر قانون أوم كمياً. يمكننا أيضاً إجراء مقارنة كمية بين الناقليتين النوعيتين، المتوقعة والمقيسة؛ إذ يوضح الشكل (1-5) هذه المقارنة من أجل بعض الفلزات المختارة، في درجتي حرارة مختلفتين، حيث جرت الحسابات على فرض أن  $\lambda = 1\text{ nm}$  من أجل كل العناصر.

- **من أجل درجة الحرارة  $T = 273\text{ K}$** ، **يُطابق** الحساب (الخط المستقيم المتواصل) الانتظام الصحيح للقيم ويعمل في منتصف النقاط المتبعثرة الموافقة للمعطيات التجريبية.
- تقع بعض العناصر بعيداً عن مستقيم الحساب، لا سيما الفلزات النبيلة وأنصاف الفلزات من المجموعة VII؛ وBi. كان من الممكن أن نستنتج أن نموذج درودي **لا يُطابق** التقاصيل، إلا أن المنحى العام للنموذج صحيح في كل الأحوال.
- وتنطبق المسألة من أجل درجات الحرارة الأخفاض أكثر **جدليةً**: ففي درجة الحرارة  $T = 77\text{ K}$ ، تزداد الناقليات **النوعية المحسوبة**، لأن السرعة تُصبح أصغر، ولكن الناقليات **النوعية المقيسة** تزداد أكثر من زيادة تلك المحسوبة بكثير؛ حتى في درجة الحرارة الأخفض، تُصبح المقارنة أكثر فأكثر غير مريحة وغير مفيدة.

## 2-2-5 مفعول هول Hall Effect

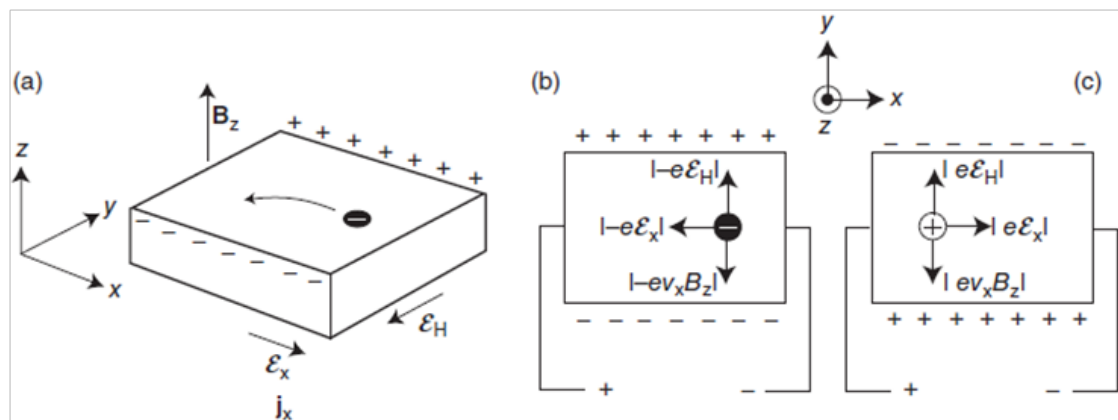
ثمة نتيجة أخرى انبقت من نموذج درودي، تكمن في كونه قادرًا على تفسير مفعول هول؛ إذ تم في عام 1879 اكتشاف هذا المفعول على يد هول Edwin Hall، عندما درس تأثير الحقل المغناطيسي على التيار المار في ناقل، والشكل (2a-5) يوضح هذا المفعول. وجد هول أن حقلًا كهربائياً،  $E_H$ ، يتشكّل في عينة جسم صلب، عمودياً على كلٍ من الحقل المغناطيسي المطبّق وكثافة التيار. تتناسب قيمة حقل هول العرضاني تناسباً طردياً مع كلٍ من كثافة التيار،  $j_x$ ، وشدة الحقل المغناطيسي،  $B_z$  :

$$E_H = R_H j_x B_z , \quad (13-5)$$

حيث يسمى ثابت التتناسب،  $R_H$ ، **معامل هول Hall Coefficient**.

يمكن تفسير العلاقة (13-5) بسهولة تامة في الحالة المستقرة، راجع الشكل (2b-5)، حيث يجب أن يُعدّ حقل هول،  $E_H$ ، من أجل الإلكترونات التي تخترق العينة المدروسة، قوة لورانتس تماماً في الاتجاه المعاكس ولذلك، نكتب العلاقة الآتية:

$$| -eE_H | = | -eB_z v_x | \Rightarrow E_H = B_z v_x . \quad (14-5)$$



**الشكل (2-5):** (a) توضيح مفعول هول؛ (b) التوازن بين قوة لورانتر والقوة الناتجة عن حقل هول من أجل الإلكترونات التي تخرق العينة (الشحنة  $-e$ )؛ (c) نفس الحالة السابقة ولكن من أجل الحاملات المشحونة إيجابياً التي تخرق العينة (الشحنة  $+e$ ).

وباستخدام العلاقة الأخيرة وتعريفات كثافة التيار، وفقاً للعلاقة (7-5)،  $j_x = v_x / en$  ، نحصل على معامل هول تبعاً للمساواة الآتية:

$$R_H = \frac{E_H}{j_x B_z} = \frac{B_z v_x}{-env_x B_z} = \frac{-1}{ne} . \quad (15-5)$$

إذن، يؤمن لنا قياس معامل هول وصولاً تجريبياً مباشراً لحساب كثافة الإلكترونات الناقلية،  $n$ .

يمكنا مقارنة معاملات هول مع تلك المعاملات المحسوبة من أجل كثافة الإلكترونات لعناصر مختلفة، والجدول (1-5) يعرض هذه المقارنة، حيث جرى تقسيم المعامل  $R_H$  المقىّس على الكمية  $1/ne$  - بغرض تسهيل المقارنة:

○ فمن أجل **الفلزات القلوية**، النتيجة قريبة من القيمة المتوقعة، 1، ومن أجل **الفلزات النبيلة**، يكون التوافق مقبولاً أيضاً،

○ وبالنسبة **للبيزموت Bi**، كانت نتيجة المقارنة سيئة جداً؛ فالقيمة الكبيرة جداً تعني، لسبب ما، أن قيمة الكثافة الحقيقة لـإلكترونات الناقلية يجب أن تكون أقل بكثير من القيمة المحسوبة؛

○ وبمعنى ما، كان التوافق من أجل Be، و Mg، و Al أسوأ، حتى من أجل Bi، ليس فقط لأن القيم لم تكن ملائمة وحسب، بل لأن معامل هول،  $R_H$ ، المقىّس لم يكن موجباً حتى، وإنما كان **سالباً**.

○ وفي السياق ذاته، من المهم أن نلاحظ مرة أخرى، أن إشارة حاملات الشحنة، ليس لها قيمة فيما خص الناقلية النوعية للعينة، ولكنها تظهر في مفعول هول. ولذلك، يبدو أن **شحنات موجبة** هي المسؤولة عن نقل التيار في Be، و Mg، و Al: فتخيل أنه لدينا حاملات شحنة موجبة بكثافة  $p$ , مثلاً!، راجع الشكل (2c-5). وعندما، ليس صعباً، أن نحصل على العلاقة الآتية:

$$R_H = \frac{1}{ne} , \quad (16-5)$$

هذا يعني أننا حصلنا على معامل هول،  $R_H$  ، بإشارة موجبة. الإشارة إلى حاملات الشحنة الموجبة ليس لها معنى في نموذج درودي، ولكننا سنرى أن النموذج الكواנטי للحالات الإلكترونية قادرًا على إعطاء توصيفٍ حسّيٍ لحاملات الشحنة الموجبة. وسيكون ذلك مفيداً إلى حدٍ ما من أجل دراسة أنصاف النواقل والتعامل معها.

### 3-2-5 الانعكاسية الضوئية الفلزات Optical Reflectivity of Metals

يستطيع نموذج درودي أن يفسّر أيضًا لماذا تعكس الفلزات الضوء وتظهر لهذا السبب **لماءعاً** Shiny. قبل أن ندرس ذلك، نذكر بعض العلاقات والمعادلات الأساسية المستخدمة في علم البصريات؛ إذ سنحتاج إليها مرة أخرى عند مناقشتنا الخصائص الضوئية للعوازل.

يمكن وصف الضوء؛ كموجة كهرومغناطيسية مستوية عرضانية، وكتابة الحقل الكهربائي من أجل موجة منتشرة في الاتجاه  $z$  مثلاً بالعلاقة الآتية:

$$\vec{E}(z, t) = \vec{E}_0 e^{i(kz - \omega t)}, \quad (17-5)$$

حيث  $\vec{E}_0$  مطال الحقل الكهربائي في المستوى ( $y, x$ ) و  $k$  طولية متوجه الموجة وتساوي:

$$k = \frac{2\pi N}{\lambda_0}, \quad (18-5)$$

حيث  $\lambda_0$  طول الموجة في الخلاء و  $N$  قرينة الانكسار العقدية للوسط المدروس، وتعطى بالعلاقة:

$$N = n + iK, \quad (19-5)$$

حيث  $n$  القسم الحقيقي لـ  $N$  (يجب عدم الخلط بينها وبين كثافة الإلكترونات الناقلة) و قسمه التخييلي  $K$  (كَبَاً).

- يصف القسم الحقيقي،  $n$ ، لقرينة الانكسار العقدية **تغير طول الموجة** في المادة ومن ثمَ الانكسار عند السطح الفاصل،

- أمّا القسم التخييلي،  $K$ ، فيُفسّر **التخادم** (امتصاص طاقة الموجة الكهرومغناطيسية) الذي يحدث داخل المادة .
- وبشكل عام، تتعلق قرينة الانكسار العقدية،  $N$ ، بالتواتر،  $\omega$  ، وتسمى الظاهرة الناتجة عن ذلك **بالتبعد** *Dispersion*. وثمة نتيجة مشابهة لذلك، تتمثل في **تحليل الضوء** إلى ألوان مختلفة لدى انعكاسه عن مoshور زجاجي.

هناك طريقة أخرى لوصف الخصائص البصرية (الضوئية) للمواد، تتمثل في استخدام **تابع العازلية العقدية**،  $\epsilon_r$  ،  $\epsilon_i$  ،  $N$ ، عوضًا عن قرينة الانكسار العقدية،  $N$ . *Complex Dielectric Function* عوضًا عن قرينة الانكسار العقدية،  $N$ . لا شكَ أن **ثبت العزل الساكن**،  $\epsilon_r$  ، الذي يظهر في وصف المكتففات مألوف لدينا، لا سيما في مقرر الكهرومغناطيسية، وتتابع العازلية هو الكمية ذاتها، ولكنَه يُفسّر التابعية التواترية، حيث يتبع  $\epsilon_r$  بالتوالتر،  $\omega$  ، بشكل عام. يتعلق  $\epsilon_r$  بـ **قرينة الانكسار العقدية**،  $N$ ، بالعلاقة الآتية:

$$N = \sqrt{\epsilon_r} = \sqrt{\epsilon_r + i\epsilon_i}, \quad (20-5)$$

حيث  $\epsilon_r$  و  $\epsilon_i$  **القسمين الحقيقي والتخييلي لتتابع العازلية العقدية**،  $\epsilon_r$  ، على الترتيب.

<sup>٣</sup> يمكن رؤية هذا التخادم من خلال وضع العلاقة  $iK = n + i\epsilon_i$  في (18-5) و (17-5) حيث يؤدي ذلك إلى معامل التخادم،  $(\exp(2\pi kz/\lambda_0) - 1)/(\exp(2\pi kz/\lambda_0) + 1)$  ، الذي يعني أن التخادم يزداد بازدياد  $z$ .

وعندما يمكننا كتابة العلاقة (17-5) بالشكل الآتي:

$$\vec{E}(z,t) = \vec{E}_0 e^{i[(2\pi N/\lambda_0)z - \omega t]} = \vec{E}_0 e^{i[(\omega\sqrt{\epsilon}/c)z - \omega t]}, \quad (21-5)$$

حيث استخدمنا في العلاقة الأخيرة المساواة  $\lambda_0\omega/2\pi = c$  (  $c$  سرعة انتشار الضوء في الخلاء).

يمكننا الآن، بعد حصولنا على العلاقات الأساسية الأخيرة، البدء في تفسير انعكاسية الفلزات.

**ولفعل ذلك، ندرس إلكتروناً في حقل كهرومغناطيسي متذبذب AC يعطى بموجة ضوئية.**

أولاً إذا كان التواتر الزاوي للضوء،  $\omega$ ، **صغيراً جداً**، فإننا نعود إلى حالة التيار المستمر DC، وثانياً إذا كان كبيراً بحيث يكون المقدار  $\omega/2\pi$  أقصر بكثير من زمن الاسترخاء،  $\tau$ ، فإن الإلكترون يهتز عدداً كبيراً من المرات، حيثاً وذهاباً، تحت تأثير الحقل قبل أن تحدث عملية التبعثر؛ وعندما يمكننا إهمال تصداماته مع الأيونات بشكل كامل، والتعامل مع الإلكترون على أنه حر تماماً. وطالما أن قيمة  $\tau$  من رتبة  $s^{-14}$ ، فإن هذا الشرط يتحقق جيداً من أجل التواترات البصرية.

لقد درسنا إلكتروناً وحيداً في الحقل الكهربائي لموجة كهرومغناطيسية: يجب أن يكون استقطاب هذه الموجة، بحيث يقع الحقل  $\vec{E}$  في الاتجاه  $x$  ومقدار الحقل  $\vec{E}$  التابع للزمن، مساوياً  $E_0 e^{-i\omega t}$ . وسيتحرك الإلكترون وفقاً لمعادلة الحركة:

$$m_e \frac{d^2x(t)}{dt^2} = -e E_0 e^{-i\omega t}. \quad (22-5)$$

والحل المناسب لالمعادلة (22-5) يكون من الشكل:

$$x(t) = A e^{-i\omega t}, \quad (23-5)$$

$$x'(t) = -i\omega A e^{-i\omega t}, \quad x''(t) = -\omega^2 A e^{-i\omega t}$$

حيث  $A$  مطال عقدي.

بالتعويض عن العلاقة (23-5) في المعادلة (22-5) في المعادلة (23-5) في المعادلة (22-5) نجد أنه فعلاً حل لها إذا اختبرنا المطال مساوياً:

$$A = \frac{e E_0}{m_e \omega^2}. \quad (24-5)$$

**ينزاح** الإلكترون الآن عن موقعه **دورياً**، وهذا يؤدي إلى **تغير** في عزم ثانوي القطب، ( $-ex(t)$ )؛ ومن أجل جسم صلب - بلورة فلزية بكتافة إلكترونات ناقليه،  $n$ ، يساوي الاستقطاب المجهري، ( $p(t)$ )، الذي ينتج من عزوم ثانويات - القطب إلى:

$$p(t) = -ne x(t) = -neA e^{-i\omega t} = -ne^2 E_0 e^{-i\omega t} / m_e \omega^2. \quad (25-5)$$

ونعلم من جهة أخرى، أن العلاقة العامة بين الحقل الكهربائي،  $E$ ، وحقل الانزياح الكهربائي،  $D$ ، تأخذ الشكل

$$D = \epsilon \epsilon_0 E \equiv \epsilon_0 E + p \Rightarrow \epsilon \epsilon_0 E - \epsilon_0 E = p, \\ (\epsilon - 1) \epsilon_0 E = p \Rightarrow \epsilon - 1 = \frac{p}{\epsilon_0 E} \quad (26-5)$$

ومن ثم:

$$\epsilon = 1 + \frac{p(t)}{\epsilon_0 E_0 e^{-i\omega t}} = 1 + \frac{1}{\epsilon_0 E_0 e^{-i\omega t}} \left( -\frac{ne^2 E_0 e^{-i\omega t}}{m_e \omega^2} \right). \quad (27-5)$$

وباستخدام العلاقة الأخيرة والنتيجة التي حصلنا عليها من أجل الاستقطاب، أي العلاقة (25-5)، نحصل على علاقة حساب تابع العازلية:

$$\in(\omega) = 1 - \frac{ne^2}{\in_0 m_e \omega^2} = 1 - \frac{\omega_p^2}{\omega^2}, \quad (28-5)$$

الذي يحوي ما يسمى تواتر البلازمـا  $\omega_p$ ، *Plasma Frequency*، الذي يعطى بالعلاقة:

$$\boxed{\omega_p^2 = \frac{ne^2}{m_e \in_0}}. \quad (29-5)$$

إذن، النتيجة النهائية التي توصلنا إليها تمثل في علاقة تابع العازلية، والسؤال الذي يطرح نفسه الآن، لماذا تستطيع هذه العلاقة **تفسير انعكاس الضوء المرئي على الفلزات؟**  
لمعرفة ذلك، ندرس العلاقتين (21-5) و (28-5)، ولا بد هنا من تمييز هاتين.

أولاً- عندما  $\omega_p < \omega$ ، يكون تابع العازلية،  $\in$ ،  **حقيقياً وسالباً**، ولذلك يكون المقدار  $\sqrt{\in}$  **تخيلياً صرفاً** ومن ثم تمثل العلاقة (21-5) **تغللاً للموجة في الجسم الصلب متخاماً بشكلٍ أسيّ**. وبشكل مكافئ، نرى بالنسبة لتابع العازلية،  $\in$ ، السالب، أن قرينة الانكسار العقديـة (19-5) تحوي فقط المركبة التخيلية،  $iK$ .

**لا يمكن للتخامد أن يكون ناتجاً عن الضياعات اللامرنـة**، لأن العلاقة (22-5) لم تأخذ بالحسبان مثل هذه العمليات. **و بما أن الضوء لم يخترق الجسم الصلـب، والطاقة محفوظـة، فيجب أن ينعكس.**

ثانياً- عندما يفوق تواتر الموجة الكهربائية تواتر البلازمـا،  $\omega_p > \omega$ ، يكون تابع العازلية،  $\in$ ،  **حقيقياً وموجباً** والعلاقة (21-5) **تمثل موجةً ضوئيةً تنتشر في الفلز وتتفـذ منه.**

إذن، تكمن حقيقة الأمر في أن الفلزات **عاكسة للضوء ذي التواتر المنخفض**، ولكنها **تصبح شفافةً من أجل الضوء ذي التواتر المرتفـع**. ويحدث الانتقال هنا عند تواتر، يساوي لتواتر البلازمـا.

السلوك الحاصل عند التواترات المنخفضـة، ليس مُفاجئاً، لأن هذا السلوك في حقيقة الأمر هو ذاته، كما في الحالـة الكهربـاكـنة، التي من أجلها افترضت الفلزات حالـية من الحقـول الكهربـائـية.

يمكن حساب تواتر البلازمـا من كثافة إلكترونات الناقـلـية للفلـز فقط. عوضاً عن تواتر البلازمـا،  $\omega_p$ ، من الشائع استعمال طاقة البلازمـا،  $\hbar\omega_p$ ، حيث يستعرض الجدول (2-5) القيم المحسوبة والمقيـسة: نرى هنا أن التوافق بين القيم التجـريـة والقيم المتـوقـعة مقبولـة كافية، وأن تواتر البلازمـا من أجل الفلـزـات، يقعـ في منطقة الإشعـاع **فوق البنفسـجي البعـيد**، ما يعني أن الفلـزـات تعـكس الضـوء المرئـي ولكنـها تـمرـ الإشعـاع فوقـ البنفسـجي.

**الجدول (2-5):** القيم التي تم رصـدهـا من أجل طـاقـة البـلـازـما إلى جانب الـقيم المـحسـوبـة من نـمـوذـج درـودـي.

Metal	Measured $\hbar\omega_p$ (eV)	Calculated $\hbar\omega_p$ (eV)
Li	6.2	8.3
K	3.7	4.3
Mg	10.6	10.9
Al	15.3	15.8

### 4-2-5 قانون ويدمان- فرانتس The Wiedemann-Frantz Law

من أكثر الأدلة التي أكدت على صحة نظرية درودي تكمن في أنها أعطت وصفاً كمياً صحيحاً لقانون ويدمان - فرانتس؛ ففي عام 1853م، وجد ويدمان وفرانتس أن نسبة الناقالية النوعية الحرارية إلى الناقالية النوعية الكهربائية ثابتة من أجل كل الفلزات عند درجة حرارة معطاة، ولاحقاً وجد لورانس L. Lorenz أن هذا الثابت يتناسب طردياً مع درجة الحرارة، حيث تمكّن من كتابة العلاقة الآتية:

$$\frac{\kappa_T}{\sigma} = LT , \quad (30-5)$$

حيث يسمى ثابت التتناسب،  $L$ ، عدد لورانس *Lorenz Number*.

تحسب نسبة الناقالية الحرارية  $\kappa_T$  إلى الناقالية الكهربائية  $\sigma$  ، في نموذج درودي، بسهولة؛ فالناقالية الحرارية هنا هي لغاز تقليدي ويمكن وصفها بمعادلة مشابهة للمعادلة (48-4)، عند استخدام الخصائص الموقعة (السعنة الحرارية  $c_{eg}$  ، والسرعة  $\bar{v}_e$  ، والمسار الحر الوسطي  $\bar{\lambda}_e$ ) للغاز الإلكتروني فقط،

$$\text{والناقالية الكهربائية، } \sigma = \frac{ne^2\tau}{m_e} , \text{ وبالنتيجة نحصل على المساواة الآتية:}$$

$$\frac{\kappa_T}{\sigma} = \frac{c_{eg} \bar{\lambda}_e \bar{v}_e / 3}{ne^2\tau / m_e} = \frac{3}{2} \frac{k_B^2}{e^2} T = LT , \quad (30-5)$$

وهي ليست سوى قانون ويدمان - فرانتس.

يُحسب عدد لورانس،  $L$ ، هنا بدقة العامل 2 الأقل من القيمة المحسوبة **تجريبياً** (أو من تلك المحسوبة في **الميكانيك الكواونتي بدقة**). ولكن درودي ارتكب خطأً في حساباته بمقدار العامل 2 فقط بحيث يمكن القول أن العدد  $L$  صحيح تقريباً؛ ولهذا السبب، اتفقت نظريته كمياً مع المعطيات التجريبية بشكلٍ مثيرٍ للإعجاب.

### 5-3 عيوب نموذج درودي Shortcomings of the Drude Model

بصرف النظر عن النجاح الكبير الذي حققه نموذج درودي، إلا أنه يُعاني من عدد من العيوب الجينية، وسنناقش بعضاً منها الآن لتبرير المعالجة الكواونتية الفلزات في الفصل اللاحق؛ حتى قبل الشروع بالعمل على نموذج درودي، أثارت بعض الفرضيات الشك:

- لأنأخذ على سبيل المثال، طبيعة التبعثر. فليس عادياً إغفال التفاعل الكهروساكن بين الإلكترونات وأيونات الشبكة البلورية،
- وليس واضحأ أيضاً لماذا تتصادم الإلكترونات مع أيونات الشبكة البلورية **فقط** ولا تفعل ذلك مع بعضها البعض؛
- فضلاً عن أن طول موجة دوبروي من أجل الإلكترونات التي تمتلك طاقة حرارية كان من رتبة النانومترات؛ فمعيار معالجة الإلكترونات؛ كجسيمات تقليدية، يكمن في أن طول موجة دوبروي لهذه الإلكترونات أقل بكثير من الأبعاد النموذجية للبني البلوري التي تتحرك فيها، ومن الواضح أن **هذا المعيار، لم يكن محققاً**.

ورأينا فيما خص المقارنة مع المعطيات التجريبية أن الناقلية الكهربائية النوعية المتوقعة في درجات الحرارة المنخفضة لم تكن كبيرة كافية. فعند افتراض ثبات طول المسار الحر الوسطي، لم يعط نموذج درودي ناقلية نوعية أعلى، في درجات الحرارة المنخفضة، بسبب زمن الاسترخاء المتزايد (راجع الشكل (1-5)), ولكن الناقلية النوعية المقيسة ازدادت أكثر من ذلك بكثير. فمن الواضح أن الفرضية المتمثلة في ثبات طول المسار الحر الوسطي، والمستندة إلى التباعد بين الذرات، **خاطئة تماماً**.

- في الواقع، في **درجات الحرارة المنخفضة**، يمكن أن يُصبح طول المسار الحر الوسطي للإلكترونات في البلازما عالي النقاوة والمثالية جهرياً، أو ميكرومتريراً، أو حتى ميليمتريراً، وعندما من الواضح، أن الإلكترونات تستطيع الانسلاخ من بين جميع الإلكترونات الأخرى وجميع الأيونات أيضاً؛ وهذا ما يبدو لغزاً، سنكون قادرين على تفسيره في الفصل القادم.

وال المشكلة الأخرى في نموذج درودي تكمن في أنه غير قادر على تفسير الناقلية النوعية للخلايا، فخلط كمية صغيرة من الشوائب مع فلاتن نقية أخرى، يُخفضها بشكلٍ حادٍ. وهذا يحدث، حتى وإن كانت ذرات الشائبة، مشابهة جداً للذرات المضيئة، إذ من المتوقع أن يؤدي ذلك إلى تركيز مشابه للإلكترونات (مثل الفضة Ag في النحاس Cu).

تكمّن المسألة الأكثر أهمية والمرتبطة بالمعالجة التقليدية **للإلكترونات** في الفلزات، في أن هذه الإلكترونات **تشتمل** في السعة الحرارية بشكلٍ معقولٍ، إلا أن ذلك لم يُلاحظ، إذ رأينا في مقرر терموديناميكي أن السعة الحرارية المعينة تجريبياً لمعظم الأجسام الصلبة، بما فيها الفلزات، تتقدّم في درجة حرارة الغرفة مع قيمة **ديلونغ - بتي Dulong-Petit** (راجع **الجدول** (2-4)).

يمكنا أيضاً أن نفهم قاعدة ديلونغ - بتي؛ كحالـة **لحد** درجات الحرارة المرتفعة من أجل السعة الحرارية للشبكات البلورية للأجسام الصلبة. ففي هذا التصور التقليدي للمسألة المطروحة، يؤدي وجود الإلكترونات الحرية في الفلزات إلى زيادة سعتها الحرارية:

- في مول واحد من الفلز التقليدي، تبقى السعة الحرارية للشبكة البلورية خاضعة لقاعدة ديلونغ - بتي، أي  $\theta_{\text{البلورية}} = 3N_A k_B = 3R$ ، ولكن من المتوقع أن **تشتمل** الإلكترونات في السعة الحرارية الكلية أيضاً:

- فلكل إلكترون ثلات درجات حرارة انسحابية، **تشتمل** كل منها بـ  $\frac{1}{2}k_B$  في السعة الحرارية.
- فإذا امتلك الفلز إلكترون ناقلية واحد من كل ذرة، فإن هذه الإلكترونات **تشتمل** في السعة الحرارية **المولية** بـ  $R^{\frac{3}{2}}$ ، وعندما ستكون السعة الحرارية الكلية متساوية  $R^{\frac{9}{2}}$ . وهذا القيمة أعلى بشكلٍ واضحٍ من القيمة التي تؤمنها قاعدة ديلونغ - بتي الملاحظة فعلياً.

- ومن أجل الفلزات التي تكون فيها إلكترونات الناقلية التي تقدّمها كل ذرة أكثر، فإن التوافق مع النتائج التجريبية سيكون أسوأ مما سبق. ولذلك، تفترض حقيقة أن قاعدة ديلونغ - بتي تُرصد من أجل الكثير من الفلزات، أن **الإلكترونات لا تشتمل** في السعة الحرارية، على الرغم من أنها حرة الحركة **وتشتمل** في الناقلية الكهربائية النوعية. يمكن حلّ هذا اللغز فقط في المعالجة الكوانتمية للفلزات.

## الخصائص الإلكترونية للأجسام الصلبة - تقرير الميكانيك الكوانتي

Electronic Properties of Solids: Quantum Mechanical Approach

لقد درسنا في الفصل السابق نموذج درودي الذي تُعامل فيه الإلكترونات المتحركة في فلز، كجسيمات تقليدية، وحرة، ومستقلة، ورأينا أين نجح هذا التقرير وأين أخفق، وناقشت حدود تطبيقه. والآن سنأخذ بالحسبان تصور الميكانيك الكوانتي للمسألة المطروحة وسنترى كيف أصلح الكثير من عيوب الوصف التقليدي لها؛ فضلاً عن أننا سنرى، وبعيداً عن فرضية الإلكترونات الحرية، أنه يمكن تفسير ليس الأجسام الصلبة الفلزية وحسب، بل الأجسام الصلبة اللافلزية (نصف الناقلة، والعازلة، الخ) أيضاً: فعلياً، سنتوصل إلى تعريف أكثر دقةً وكياسةً لـما يعنيه الفلز؛ ومع ذلك، ستحتفظ بالتقريب الذي ينص على أن الإلكترونات تتنقل في الجسم الصلب بصورة مستقلة عن بعضها البعض. إذ من المفاجئ أن يعمل هذا التقرير جيداً من أجل الكثير من الأجسام الصلبة وسنحاولفهم سبب ذلك. يُعدُّ البحث عن الحالات - الذاتية (الحالات الخاصة) *Eigen-states* الكوانتية للإلكترونات في الجسم الصلب مسألة معقدة؛ إذ لا بد من تصميم تابع موجي يتبع بإحداثيات كل الإلكترونات وكل الأيونات أيضاً التي تكونُ القسم الموجب من الكمون، ومن الواضح أن فعل ذلك غير ممكن!.

- **يتجلى أول تقرير** نقوم به هنا في إهمال حركة الأيونات من خلال "تجميدها" في موقع توازنها. نعلم بأن الاهتزازات الحرارية موجودة في الأجسام الصلبة ولذلك يبدو هذا التقرير محققاً بشكل رديء، غير أنه يعمل بشكلٍ جيد جداً، والسبب، يكمن في فارق الكتلة بين الإلكترونات والأيونات.

لنفرض أن الأيونات تقع في موقع معيّن وأن الإلكترونات تقع في حالتها الأرضية: فعند انزياح الأيونات من مواقعها، تكون حركاتها بطيئة إلى درجة تكون عندها الإلكترونات السريعة قادرةً على تعديل توزيعها بحيث تبقى في حالة أرضية معدّلة، ولكنها ما تزال في الحالة الأرضية، وعندما تعود الأيونات، تضبط الإلكترونات نفسها لتعود إلى الحالة الأرضية القديمة. ولذلك يمكن أن تكون الحركة الإلكترونية مفصولة عن الحركة الأيونية **فعالية**. وهذا ما يسمى **تقريب بورن-أوبنهايمر Born-Oppenheimer Approximation** (أو التقرير الأدبياتي) ويُستخدم عادةً من أجل دراسة الجزيئات.

- **ثمة تبسيط أساسى آخر** نعتمد هنا، يكمن في **عدم دراسة الحركة المتراكبة للإلكترونات**؛ إذ نحسب الحالات الإلكترونية بشكلٍ جيد **لإلكترون واحد**، بمقدوره الحركة في كمون **فعلن Effective Potential** ( $U(\vec{r})$ ،  $\vec{r}$ ،  $\psi(\vec{r})$ )، ون忽ّر كل الأيونات وبقي الإلكترونات (أي عدا الإلكترون المستهدف)، وعندما تُصبح معادلة شرودنغر المستقرة من **أجل حالة الإلكترون - الواحد** من الشكل الآتي:

$$-\frac{\hbar^2 \nabla^2}{2m_e} \psi(\vec{r}) + U(\vec{r})\psi(\vec{r}) = E\psi(\vec{r}). \quad (1-6)$$

إن هذا التقرير - **تقريب الإلكترون الواحد One-Electron Approximation** (تقريب هارتري - فوك)، وباعتراف الجميع، هو الذي يبتعد مسألة إيجاد الكمون الصحيح؛ إذ سنجده، وبشكلٍ مذهلٍ، أن الكمون ( $\vec{r}$ )  $U$  صغير جداً من أجل **العديد من الفلزات**، بحيث تسلك الإلكترونات سلوكاً، وكأنها حرّةً تقريباً.

- إن **تناول الشبكة البلورية** يُساعد كثيراً في إيجاد السويات الطافية للإلكترونات، وبصرف النظر عن مدى تعقيد الكمون ( $\vec{r}$ )  $U$ ، إلا أننا نعلم أنه يجب أن يكون دورياً بدورية الشبكة البلورية على الأقل، أي أن:

$$U(\vec{r}) = U(\vec{r} + \vec{R}), \quad (2-6)$$

حيث يمكن أن يكون المتجه  $\vec{R}$  أي متجه لشبكة برافيه.

**- وأخيراً**، عندما نحصل على الحالات الطاقية الخاصة عن طريق تقرير الإلكترونون الواحد، نملئها بكل الإلكترونات وفقاً لمبدأ باولي؛ حيث يحدث إسكان صحيح للحالات الطاقية، ولكن في درجة الصفر المطلق فقط. أما في درجات الحرارة الأعلى، فيعطي الإسكان الإحصائي للحالات عن طريق احصاء فريمي - ديراك. قبل الشروع في التوصيف - الميكانيكي الكوانتي للأجسام الصلبة بالتفصيل، ندرس بعض النماذج البسيطة جداً من أجل الحالات الطاقية الإلكترونية في الأجسام الصلبة. ستدفع قدمًا بفكرة عصابات الطاقة الإلكترونية ونقدم تصوراً ليس شكلياً، وإنما حسياً لفارق بين البالورات الفلزية، والبالورات النصف ناقلة، والبالورات العازلة.

## 1-6 فكرة عصابات الطاقة The Idea of Energy Bands

لدرس جسماً صلباً، على أنه جزيء ضخم ونبت عن السويات الطاقية الممكنة في هكذا جزيء. يُعدُّ هذا التقرير **مفهوماً حسياً** ويقدّم نتائج صحيحة، ولكنه ليس عملياً جداً من أجل معالجة البالورات، لا سيما أن درجة تناظرها عالية، ولذلك لا يُطبق.

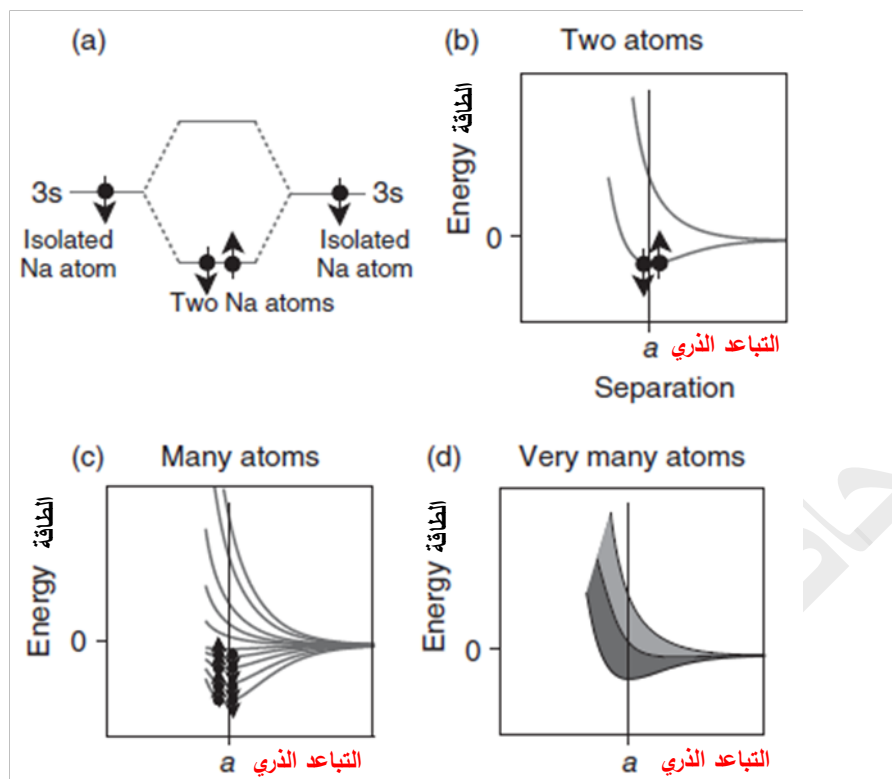
وبغرض التبسيط، نبني جزيئاً من ذرات الصوديوم Na التي تمتلك كل منها إلكترون تكافؤ واحد **فقط**؛ يوضح الشكل (1-6) ماذا يحدث عند تجمّع عنقود أكبر وأكبر من ذرات الصوديوم.

- **فمن أجل ذرتين**، تكون الحالة مشابهة لحالة جزيء هيدروجين، كما في **الشكل (2-2)**: فحالما تقترب الذرتان الواحدة من الأخرى، تتشكل المدارات الجزيئية الرابطة *Bonding* والمدارات الجزيئية اللارابطة *Anti-bonding*؛ حيث كل ذرة صوديوم تمتلك إلكترونًا واحداً  $3s^1$  فيتكيف الإلكترونون في المدار الرابط؛ لكونهما يمتلكان سبيلين متعاكسين، ومن ثم يتحققان متطلبات مبدأ باولي، راجع **الشكل (1a-6)**؛ إذ يوضح **الشكل (1b-6)** موضع السويات الطاقية؛ كتابع للمسافة بين الذرّيّة، حيث تم وضع تدرج الطاقة عند الصفر من أجل المسافة البعيدة جداً بين الذرات. فمن أجل المسافة  $a$  تصل السوية الرابطة إلى **أخفض** قيمة طاقية. وطالما السوية الرابطة فقط، تشغل بإلكترونين، فلا يكون لطاقة الحالة **غير الرابطة ("الرخوة")** معنى وتزداد الطاقة المكتسبة من أجل المسافة  $a$ .

- ماذا يحصل الآن، إذا أخذنا أكثر من ذرتين؟. في هذه الحالة، يؤدي تأثر الحالتين الذريتين إلى تشكّل سوية طاقة تمتدا على كامل الجزيء. والحالة هنا، تشبه الحالة الموافقة لوجود N ذرة؛ إذ تتشطر السويات الطاقية الذريّة-N إلى N سوية جزيئية غير متحللة . وعندها يُسكن نصف هذا الغدد،  $N^{\frac{1}{2}}$ ؛ كل منها بإلكترونين، كما يظهر في **الشكل (1c-6)**، حيث تُطبّق المبادئ ذاتها من أجل عدد كبير جداً من السويات (N). ويوجد هنا شبه-استمرارية للحالات الطاقية؛ بين **أخفض** سوية وأعلى سوية، حيث يكون نصفها ممتئ، كما يظهر في **الشكل (6d-6)**. تسمى شبه-الاستمرارية هذه **عصابة طاقة**

*.Energy Band*

<sup>٤</sup> يمكن لبعض هذه السويات أن يكون متحللاً بسبب التناظر، ولكن ليس لذلك أهمية من أجل هذه الدراسة الوصفية.



**الشكل (1-6):** كيفية تشكيل العصابات الطاقية في الأجسام الصلبة،

(a) سويات الطاقة الرابطة واللارابطة وإسكانها من أجل جزء أنشيء من ذرتين صوديوم. ترمز الدوائر السوداء والأسماء إلى

الإلكترونات وسبعيناتها. (b) السويات الطاقية الجزيئية كتابع للتباعد الذري فيما بينها.

(c) السويات الطاقية من أجل عنقود مؤلف من العديد من ذرات الصوديوم كتابع للتباعد الذري فيما بينها.

(d) يشير هذا الشكل إلى وجود شبه-استمرارية بين أعلى السويات الطاقية وأدنىها من أجل الكثير من الذرات. نصف هذه

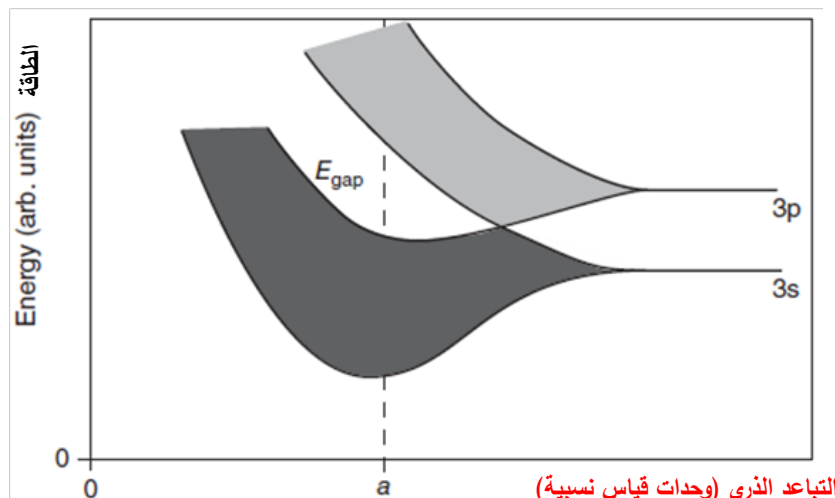
العصابة الطاقية ممتنع (الساحة المظللة العائمة) بالإلكترونات ونصفها الآخر فارغ (الساحة المظللة الفاتحة).

يمكننا الآن، أن نرى وصفياً، لماذا يُبدي الصوديوم  $\text{Na}$  سلوكاً فلزياً، فنصف العصابة الطاقية **لإلكترونات التكافؤ ممتنع تماماً**. عند تطبيق حقل كهربائي على عينة من  $\text{Na}$ ، تتعرض الإلكترونات لقوة باتجاه معاكس لاتجاه الحقل الكهربائي، ولكي تتحرك في ذاك الاتجاه، يجب أن **تزيد** طاقتها الحركية قليلاً، أي يجب أن تذهب إلى حالة طاقية **أعلى** من حالتها التي كانت فيها قبل تطبيق الحقل الكهربائي بقليل. وهذا ممكن بسهولة من أجل الإلكترونات الموجودة في هذه الحالات الطاقية الأعلى المشغولة بها، بسبب وفرة الحالات الشاغرة ذات الطاقات **الأعلى** من طاقات الحالات المشغولة بقليل.

ولرؤيه سلوك مختلف تماماً عن السلوك السابق، ندرس **تشكل عصابات الطاقة في السيليكون (Si)** والتي

يوضحها الشكل (2-6):

- فالإلكترونات التكافؤ المنخرطة في الترابط، هي إلكترونات  $3s$  وإلكترونات  $3p$ ; وحالما تقترب ذرات  $\text{Si}$  من بعضها البعض، **تهجن المدار** و**تشكل عصابتين** من الحالات الطاقية عند مسافة التوازن،  $a$ ، تحوي كل منها **أربع حالات لكل ذرة**  $\text{Si}$ , أي أن المجموع، ثمان حالات **لكل ذرة**; اثنان منها، أستمدتا من الحالات الذرية  $s$  وستة من الحالات الذرية  $p$ ، على الترتيب.



**الشكل (2-6): (a)** كيفية تشكل العصابة الطاقية في Si؛ توافق الصابحة الأدنى الحالات الهجينة  $sp^3$  الممثلة تماماً.

إن العصابة الطاقية الأخضر تتتألف من المدارات  $sp^3$  وهي مشغولة بالكامل بالكترونات التكافؤ الأربع للكربون، وأمّا العصابة الطاقية الأعلى، فهي شاغرة تماماً، وما بين العصابتين، ثمة منطقة طاقية خالية من الحالات، تسمى **فجوة عصابة الطاقة Band Gap** (أو منطقة محظورة *Forbidden Zone*). وهذا ما يفسّر السلوك العازل (من الناحية الكهربائية طبعاً) لسيلكون Si: فعند تطبيق جهد كهربائي، لا تستطيع إلكترونات العصابة  $sp^3$  الممثلة أن تزيد طاقتها الحركيّة **بمقدار صغير** لعدم وجود حالات شاغرة بطاقة أعلى منها بقليل تستطيع الإلكترونات الانتقال إليها.

يسمح لنا هذا التصور بتصنيف المواد إلى فئتين: فئة الفلزات وفئة اللافزات.

ويمكن تصنيف اللافزات إلى أنصاف نوافل وعوازل. لسوء الحظ، أن هذا النموذج البسيط، يفتقر لأي قوة تنبؤية؛ فإذا أخذنا الكربون الذي يمتلك نفس عدد الإلكترونات التكافؤ التي يمتلكها السيلكون Si، نتوصل إلى ذات التوصيف للترابط فيما بينها، وهذا صحيح أيضاً من أجل الألماس الذي يتراوّح وفق الروابط الهرجينة  $sp^3$  ويمتلك فجوة طاقة؛ إلا أن الوضع يختلف تماماً من أجل الغرافيت حيث تتشكل فيه عصابات طاقية أيضاً ولكنه لا يحتوي فجوة طاقة.

## 6-2 نموذج الإلكترون الحر Free Electron Model

### 6-2-6 الحالات الكوانتية الطاقية الخاصة The Quantum Mechanical Eigen-states

نموذج الإلكترون الحر هو قرين ميكانيكي كوانتي لنموذج درودي التقليدي؛ فالغرض منه، الحصول على توصيف بسيط للفلزات، على فرض أن الإلكترونات حرّة، بمعنى أنها لا تتأثر مع الأيونات أو مع بعضها البعض ولهذا السبب، يسمى هذا النموذج أيضاً، نموذج غاز الإلكترون الحر. معالجة الإلكترونات الحرّة في نموذج كوانتي، تقودنا إلى دراسة مسألة نموذجية معروفة - مسألة جسيمة حرّة في صندوق أو حفرة كمّون؛ وتكمّن المسألة عندـها، في حل المعادلة (6-1)، عندما  $U(\vec{r}) = 0$ ، وبفرض شروط حدية محددة. ولكن السؤال الذي يطرح نفسه هنا، ما هي هذه الشروط الحدية التي سنختارها؟.

أبسط الشروط الحدية تكمن في جعل التابع الموجي يتلاشى عند حدود السلسلة الذريّة، وهذا يوافق تثبيت الذرات عند نهاية السلسلة الذريّة المحدودة. وفي كلتا الحالتين، يؤدي ذلك إلى **أمواج واقفة Standing Waves**.

حالة اهتزازات الشبكة البلورية، لن يكون مقنعاً استعمال مثل هذه الشروط الحدية هنا، لأن تركيزنا سينصب على الحلول المنتشرة (الأمواج المنتشرة وليس الواقفة)، لكي نفسر الناقلة الحرارية والناقلة الكهربائية. ولهذا السبب، تُعد الشروط الحدية الدورية الموصوفة بالعلاقة (4-17) خياراً أفضل من الخيار السابق. ندرس هنا الحالة ثلاثة-البعد مباشرةً ولا نناقش مسألة البعد الواحد، لأن عدداً كبيراً من الخصائص، يتعلق بالأبعاد. وبغرض التبسيط، نفرض أنه لدينا صندوق مكعب الشكل، طول ضلعه جهري،  $L$ ، وحجمه  $V = L^3$ . وعندما، يُعبر عن الشروط الحدية الدورية بالمساواة الآتية:

$$\psi(\vec{r}) = \psi(x, y, z) = \psi(x + L, y, z) = \psi(x, y + L, z) = \psi(x, y, z + L). \quad (3-6)$$

حلول معادلة شرودنغر المستقرة هي موجات مستوية، مستتظمة بحيث تساوي الاحتمالية التكاملية لإيجاد الإلكترون

$$\text{في صندوق للواحد } 1 : \int_V \psi(\vec{r}) \psi^*(\vec{r}) d\vec{r} = 1$$

$$\psi(\vec{r}) = \frac{1}{\sqrt{V}} e^{i\vec{k}\cdot\vec{r}}. \quad (4-6)$$

وهذا التابع الموجي يشابه تماماً التابع الموجي للإلكترونات الحرة الحقيقية، إلا أن ثمة قيوداً هنا على القيم المسموحة للمتجه الموجي،  $\vec{k}$ ، تفرضها الشروط الحدية الدورية. وهي نفسها المفروضة على اهتزازات البلورية، أي أن:

$$\vec{k} = (k_x, k_y, k_z) = \left( \frac{n_x 2\pi}{L}, \frac{n_y 2\pi}{L}, \frac{n_z 2\pi}{L} \right), \quad (5-6)$$

حيث  $n_x$ ، و  $n_y$ ، و  $n_z$  أعداد صحيحة.

**سويات الطاقة** هي:

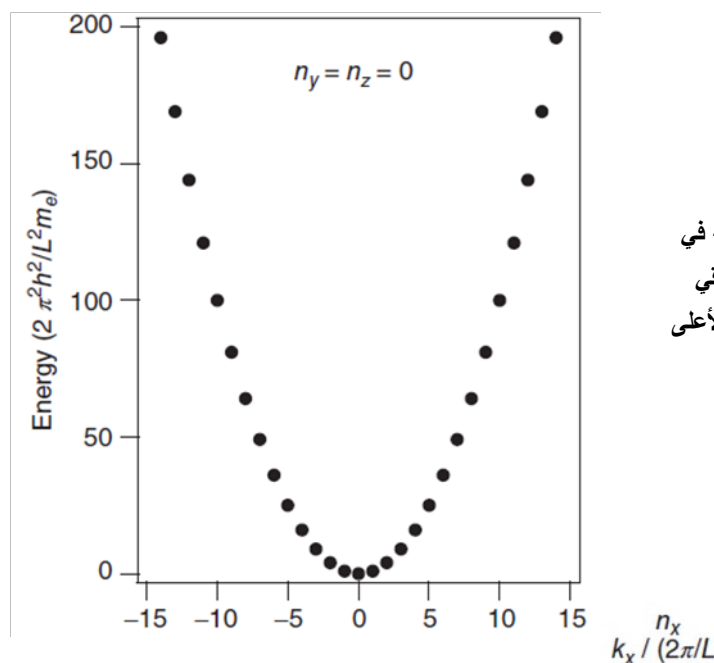
$$E(\vec{k}) = \frac{\hbar^2 k^2}{2m_e} = \frac{\hbar^2}{2m_e} (k_x^2 + k_y^2 + k_z^2) = \frac{\hbar^2}{2m_e} \left( \frac{2\pi}{L} \right)^2 (n_x^2 + n_y^2 + n_z^2). \quad (6-6)$$

يوضح الشكل (3-6) هذه السويات؛ كتابع له  $k_x$  أو  $n_x$ ، من أجل  $n_y = n_z = 0$ . يبدو التباعد بين السويات الطافية في هذا الشكل متزايداً من أجل قيمة كبيرة له  $n_x$ ، وحقيقة الأمر ليست كذلك، إذ أن هذا التباعد صوريٌّ، ناتجٌ من فرض الثابتين  $n_y$  و  $n_z$  متساويان للصفر. في الواقع، التباعد بين السويات الطافية من رتبة المقدار

$$\frac{\hbar^2}{2m_e} \left( \frac{2\pi}{L} \right)^2 \quad (7-6)$$

(من أجل كل الطاقات) يُعدُّ صغيراً جداً بسبب جهريّة المسافة  $L$ . ولذلك، يؤدي هذا النموذج إلى سويات طافية شبه-مستمرة (أو عصابة طافية) كما جرى وصفها في الفقرة السابقة.

سويات الطاقة المحسوبة هنا هي سويات طاقة أحادية - الإلكترونون. إذ بمقدورنا وضع الإلكترونات فيها وفقاً لمبدأ باولي، ونببدأ بملئ الحالة الطافية الأخضر ذات المتجه الموجي  $(0, 0, 0) = \vec{k} = 0$  والطاقة  $E(\vec{k}) = 0$ ، بالإلكترونين، ثمَّ نتابع ملئ السويات ذات المتجه الموجي الأعلى؛ كالسوية  $(0, 0, 2\pi/L) = \vec{k}$ ، حتى تستنفذ كل الإلكترونات.



**الشكل (6-3):** يوضح الحالات الإلكترونية في نموذج الإلكترون الحر. إن التباعد الطيفي المتزايد بين النقاط السوداء عند الطاقات الأعلى صوريٌ ناتج من عد  $n_z = n_y = 0$

لا شك أننا بحاجة لمعرفة أعلى طاقة مشغولة نحصل عليها عند ملي الحالات: فإذا كان عدد الإلكترونات المراد توزيعها كبيراً، يمكننا استخدام نفس التصميم الهندسي الذي أستخدم من أجل الحالات الاهتزازية: لفترض أنه لدينا  $N$  إلكترونًا في الحجم المغلق المدروس، بحيث أن كثافة الإلكترونات الناقليّة، تساوي  $n = N/V = N/L^3$ . يمكن لهذه الإلكترونات أن تتوزع في  $\frac{1}{2}N$  حالة بأخفض طاقة، طالما أنه يمكن أن يكون لدينا إلكترونين في كل حالة. يجب أن تشغّل كل الحالات بحيث تقع في كرة نصف قطرها  $n_{\max}$ ، أو في كرة نصف قطرها  $k_{\max}$ ، بحيث أن:

$$\frac{N}{2} = \frac{4}{3}\pi n_{\max}^3, \quad (8-6)$$

نحصل من هذه المساواة على علاقة الكثافة الإلكترونية القصوى

$$n_{\max} = \left(\frac{3N}{8\pi}\right)^{1/3} \quad (9-6)$$

التي يمكننا أن نحسب منها طاقة أعلى سوية طافية مشغولة بإلكترون:

$$E_{\max} = \frac{\hbar^2 k_{\max}^2}{2m_e} = \frac{\hbar^2}{2m_e} \left(\frac{2\pi}{L}\right)^2 n_{\max}^2. \quad (10-6)$$

لهذه الطاقة اسم خاص بها، هو **طاقة فيرمي Fermi Energy** ويرمز لها بالرمز  $E_F$ ؛ تبلغ من أجل معظم الفرزات بضعة إلكترونات فولط، أي أنها تقع في مجال طاقات الروابط الكيميائية النموذجية. وبشكل مشابه، يسمى المقدار  $k_{\max}$  **متجه فيرمي الموجي Fermi Wave Vector**، ويرمز له بالرمز  $k_F$ ؛ لا تُستخدم الكمية  $n_{\max}$  كثيراً لأنها تتعلق بأبعاد الجملة المدرosa. العلاقة المفيدة التي تنتج من العلاقة (10-6) هي العلاقة بين طاقة فيرمي،  $E_F$ ، وكثافة الإلكترونات الناقليّة،  $n$ :

$$E(\vec{k}) = \frac{\hbar^2}{2m_e} (3\pi^2 n)^{2/3}. \quad (11-6)$$

**طاقة فيرمي هي الطاقة الحركية الأعلى للإلكترونات في الجسم الصلب.** يمكن أيضاً حساب سرعة فيرمي الموقعة،  $v_F^2 = 2E_F / m_e$  ، حيث نحصل على قيم من رتبة  $10^6 \text{ m/s}$ ؛ وهي قيمة كبيرة جداً، لاسيما إذا ما أخذنا بالحسبان أن كل يجري حسابه لأن يتم في الدرجة  $0 \text{ K}$ .

وأخيراً، يمكننا حساب كثافة الحالات  $(g(E))$ ، في نموذج الإلكترون الحر أي عدد الحالات المتاحة - المرتبط بالطاقة في مجال الطاقة،  $dE$ ، وهي كمية ضرورية من أجل التوصيف الصحيح للحالة، عند درجة حرارة محددة، ومن أجل أشياء كثيرة أخرى: فاستناداً إلى العلاقات (6-9) و (6-10)، يمكننا كتابة علاقة الطاقة الأعلى المشغولة من أجل  $N$  إلكتروناً بالشكل الآتي:

$$E(N) = \frac{\hbar^2}{2m_e} \left( \frac{3\pi^2 N}{V} \right)^{2/3}, \quad (12-6)$$

ومن هذه العلاقة نحصل على علاقة العدد الكلي للحالات،  $N(E)$ ، من أجل الطاقة الأعلى المعطاة،  $E$ ، بالشكل الآتي:

$$N = \frac{V}{3\pi^2} \left( \frac{2m_e}{\hbar^2} \right)^{3/2} E^{3/2} \quad \text{ومن ثم}$$

$$g(E) = \frac{dN(E)}{dE} = \frac{V}{2\pi^2} \left( \frac{2m_e}{\hbar^2} \right)^{3/2} E^{1/2}. \quad (13-6)$$

يوضح الشكل (4a-6) كثافة الحالات من أجل نموذج الإلكترونات الحرية.

لقد درسنا إلى الآن فقط الحالة الموقعة لدرجة الصفر المطلق. فالإلكترونات في أي درجة حرارة محددة ستتهيّج حرارياً من حالتها الأرضية: من أجل الفرميونات، تُعطى احتمالية انشغال الحالات بالإلكترونات تابع توزع فيرمي - ديراك،  $f(E, T)$ ، الآتي:

$$f(E, T) = \frac{1}{e^{(E-\mu)/k_B T} + 1}, \quad (14-6)$$

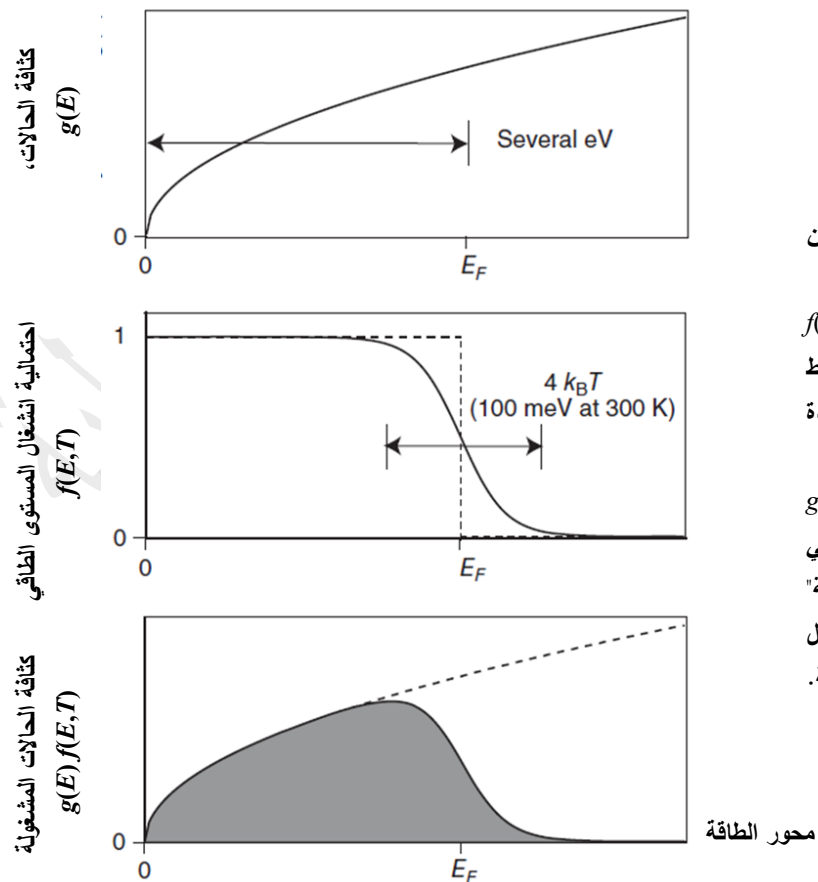
حيث  $\mu$  الكمون الكيميائي *Chemical Potential*؛ من أجل الفلزات  $\mu = E_F$  ، ولا يوجد فرق بين طاقة فيرمي والكمون الكيميائي على الإطلاق. وهذا صحيح تماماً في درجة الصفر المطلق، وفي درجة حرارة محددة، يُعدُّ تقريباً جيداً جداً. يوضح الشكل (4b-6) تابع توزع فيرمي - ديراك حيث يُمثل في درجة الصفر المطلق بالخط المنقطع ويأخذ القيمة واحد من أجل الطاقات الأقل من  $\mu$  وصفر من أجل الطاقات الأعلى من  $\mu$ ، بمعنى أن كل الحالات الواقعية تحت الكمون الكيميائي مشغولة، أمّا كل الحالات الأخرى، فشاغرة. وهذا ما ينسجم مع دراستنا المذكورة أعلاه عن كيفية مليء الحالات الطاقية. أمّا في درجة حرارة محددة، فإن تابع توزع فيرمي - ديراك، يُشكّل "منطقة انسيابية" "Soft Zone" حول  $\mu$ ، التي لم تُعد فيها احتمالية الانشغال بالإلكترونات، مساويةً الواحد أو الصفر، وإنما تقع بينهما. المنطقة المساء متوازنة بالنسبة للكمون الكيميائي،  $\mu$ ، (أو طاقة فيرمي  $E_F$ )، ولها سماعة تبلغ نحو  $4k_B T \approx 25 \text{ meV}$ ، ومن ثم عرض المنطقة المساء يبلغ نحو  $100 \text{ meV}$ .

من المفيد هنا مقارنة الطاقة الحرارية الوسطية للإلكترونات في النموذج الكوانتي مع نتيجة نموذج درودي: في النموذج الكواントي، يجب أن تكون هذه الطاقة جزءاً من طاقة فيرمي،  $E_F$ ، في حين أنها تُعطى في نموذج درودي **بالعلاقة** (5-1). ولكن الفارق الأكثُر أهميةً لا يكمن في أن الطاقة الحرارية في النموذج الكواントي كبيرة بشكلٍ ملحوظ، وإنما في كونها (على الأغلب) مستقلةً عن درجة الحرارة.

وأخيراً، يمكن إيجاد كثافة الحالات المشغولة بالإلكترونات عند طاقة ودرجة حرارة محددتين، بضرب كثافة الحالات،  $g(E)$ ، بتابع توزع فيرمي - ديراك،  $f(E, T)$ . راجع الشكل (4c-6). يُقدم لنا هذا التعريف طريقةً لحساب الكمون الكيميائي،  $\mu$ ، في أي درجة حرارة، لأن العدد الكلي للإلكترونات،  $N$ ، يجب أن يُعطى بالعلاقة الآتية:

$$N = \int_0^{\infty} g(E) f(E, T) dE. \quad (15-6)$$

غير أننا أشرنا سابقاً إلى أن الكمون الكيميائي،  $\mu$ ، في فلز، يتعلّق بدرجة الحرارة - فقط - بشكلٍ ضعيفٍ جداً. تجدر الإشارة إلى مقدار اختلاف تدريجات الطاقة. فطاقة فيرمي تساوي بضعة إلكترون فولط، في حين يبلغ عرض المنطقة الملساء لتابع توزيع فيرمي - ديراك فقط 400 meV في درجة حرارة الغرفة. وهذا يعني أن العدد النسبي للإلكترونات في المنطقة الملساء صغير جداً في الواقع الأمر. وهذا ما يبدو مفتاحاً لفهم العديد من خصائص المعادن؛ كالسعنة الحرارية، مثلاً.



**الشكل (4-6):** (a) كثافة الحالات من أجل غاز إلكتروني حر  $g(E)$ ; (b) تابع توزع فيرمي - ديراك  $f(E, T)$  في درجة الصفر المطلق (الخط المتقطع) وعند درجة حرارة محدودة (الخط المستمر).

(c) كثافة الحالات المشغولة  $g(E)f(E, T)$ . لاحظ أنَّ العرض النسبي لتوزيعات فيرمي "المنطقة الانسيابية" ( $\sim 4kT$ ) تم تكبيره في الرسم من أجل درجات حرارة قريبة درجة حرارة الغرفة.

## 6-2 السعة الحرارية الالكترونية Electronic Heat Capacity

حقيقة أن قاعدة ديلونغ- $C \equiv 3R$ ، ليست صالحة من أجل العوازل وحسب، وإنما من أجل الكثير من الفلزات أيضاً (راجع الجدول 4-2)، تفترض أن مساهمة الإلكترونات الحرة في السعة الحرارية لفلزٍ، صغيرة جدًا. فنمودج درودي لم يفسّر ذلك، والآن أصبح بمقدورنا فهم السبب: **فعد ارتفاع درجة حرارة جسم صلب، فإن جزءاً صغيراً جداً من الإلكترونات بمقدوره التهيج حرارياً**، وهذا ما يوضحه الشكل (5-6): فإذا فرضنا أن درجة حرارة الجسم الصلب ترتفع من الصفر المطلق حتى درجة حرارة ما،  $T$ ، محدودة، فإن الجسيمات التقليدية ستترفع طاقتها الحركية بمقدار  $T_B k_B^{\frac{3}{2}}$ ؛ وهذا غير ممكن هنا، من أجل معظم الإلكترونات لأنها مقتصرة؛ إذ توجد إلكترونات أخرى تشغل الحالات ذات الطاقات الأعلى بقليل. في الواقع، تكون **المساهمة الإلكترونية في السعة الحرارية ممكناً، فقط من أجل الإلكترونات الواقعة بجوار طاقة فيرمي**.

**لقدّر السعة الحرارية الإلكترونية "بشكل أولٍ": إن عدد الإلكترونات في المنطقة الملساء من رتبة  $k_B T g(E)$ . فإذا قلنا أن الطاقة الحرارية الوسطية لهذه الإلكترونات تساوي  $T^{\frac{3}{2}}$ ، فإن الطاقة الحرارية الوسطية الكلية لفلز تساوى:**

$$\langle E \rangle = \frac{3}{2} k_B T g(E_F) k_B T \quad (16-6)$$

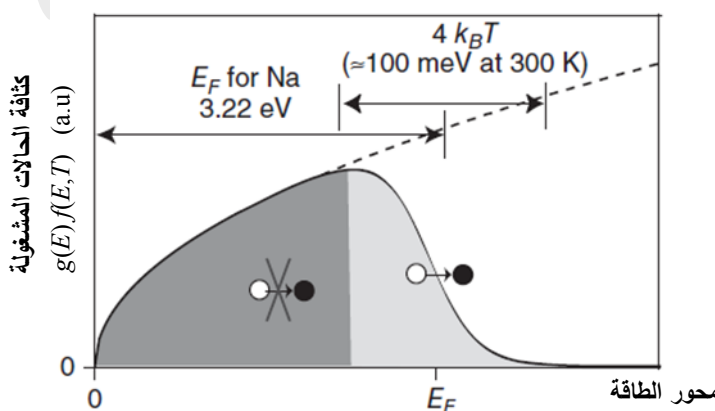
زائد بعض الانزياح غير المتعلق بدرجة الحرارة. ومن ثمّ نحصل على السعة الحرارية الآتية:

$$C = \frac{\partial \langle E \rangle}{\partial T} = 3k_B^2 T g(E_F). \quad (17-6)$$

وهذه العلاقة مطابقة للنتيجة الصحيحة الموافقة للمساواة:

$$C = \frac{\pi^2}{3} k_B^2 T g(E_F). \quad (18-6)$$

لهذه العلاقة الكثير من التطبيقات المهمة. **تناسب** السعة الحرارية **طريقاً** مع كثافة الحالات عند طاقة فيرمي،  $(E_F)$ ؛ يمكن فهم ذلك بسهولة على اعتبار أن الإلكترونات القريبة فقط من طاقة فيرمي بمقدورها المشاركة في التهيجات الحرارية. وطالما أن هذه الإلكترونات تشكل جزءاً صغيراً فقط من مجموع الإلكترونات، فإن الإلكترونات الحرة في فلز لا تؤدي عادة إلى تباين كبير مع قاعدة ديلونغ-بتي عند درجات الحرارة المرتفعة. ومن جهة أخرى، العلاقة (6-18) **خطية** بالنسبة لدرجة الحرارة،  $T$ ، في حين أن السعة الحرارية (المنخفضة درجة الحرارة) للشبكة البلورية تناسب مع درجة الحرارة وفقاً للتتابع التكعيبي،  $T^3$ ، راجع **العلاقة (4-45)**،



**الشكل (6-5):** معظم الإلكترونيات في فاز (ثك) الواقعه في المنطقة الرمادية الغامقة تقريباً لا يمكن أن تغير طاقتها بكمية صغيرة لأن الحالات التي يمكن بلوغها مشغولة بالكترونيات أخرى. وكما هو الحال في الشكل (6-4)، عرض "المنطقة الملساء" لتوزع فرمي - ديراك كففة ولست كمة.

، حيث  $\Theta_D = \frac{12}{5} \pi^4 N k_B g (T/\Theta_D)^3$  درجة حرارة ديباي. وهذا يعني أنه في درجات الحرارة المنخفضة، تتلاشى مساهمة الشبكة البُلُورية أسرع من تلاشي المساهمة الإلكترونية التي يمكن قياسها في حقيقة الأمر، والشكل (6-6) يوضح ذلك.

### 3-2-6 قانون ويدمان - فرانتس The Wiedemann-Franz Law

إن نموذج الإلكترونات الحرية يستنسخ قانون ويدمان - فرانتس بشكل صحيح وبطبي أيضًا عدد لورانس الصحيح،  $L$ . إذ يمكن رؤية ذلك من خلال التدقيق في العلاقة المناسبة (30-5). فيمكن للناقلية الحرارية أن تأخذ نفس الشكل العلاقة (48-4) مع تعديلات ملائمة للسرعة، التي يجب أن تكون سرعة فيرمي، والمسعة الحرارية. وأنأخذ علاقة الناقلية الكهربائية من نموذج درودي. ويمكن كتابة كلتا الناقلتين بحيث تحويان زمان الاسترخاء،  $\tau$ . وهنا لا نعلم شيئاً عن  $\tau$  ، ولكن من حسن الحظ، تسقط من العلاقة النهائية. ترك تفاصيل الحصول على العلاقة النهائية الآتية للقارئ (راجع المسالة 4-6):

$$\frac{\kappa}{\sigma} = \frac{\pi^2}{3} \frac{k_B^2}{e^2} T = LT . \quad (19-6)$$

وهذا ما يعطي عدد لورانس،  $L = 2.45 \times 10^{-8} \text{ W} \cdot \Omega \cdot \text{K}^{-2}$  ، الذي يتفق جيداً مع المعطيات التجريبية من أجل العديد من الفلزات.

## 4-2-6 ظاهرة الحجب الكهربائي Electric Screening

ثمة صفة مميزة مهمة للفلزات هي **مقدرتها على حجب الحقول الكهربائية**. في الواقع، في النظرية التقليدية للحقل الكهرباسكين، من المتعارف عليه القول أن داخل الفلزات خال من الحقل الكهربائي؛ وفي نموذج درودي وجدنا أن ذلك يُعد تقريراً جيداً Approximation Well من أجل حقول كهربائية متداوحة AC بتوافرات أخفض من توافر البلازما؛ وعلى مستوى التدريج الذري، هذا الأمر ليس بسيطاً جداً، إلا أن الفلز يبقى، كما في السابق، فعالاً جداً في حجب الحقول الخارجية. قبل توصيف ذلك كمياً، نعرض مفعول الحجب بشكلٍ مبسطٍ.

**لدرس في البداية** كمون كولون الناتج عن شحنة نقطية موجبة،  $q$ ، **في الخلاء**:

$$\phi_0(r) = \frac{1}{4\pi \epsilon_0} \frac{q}{r}, \quad (20-6)$$

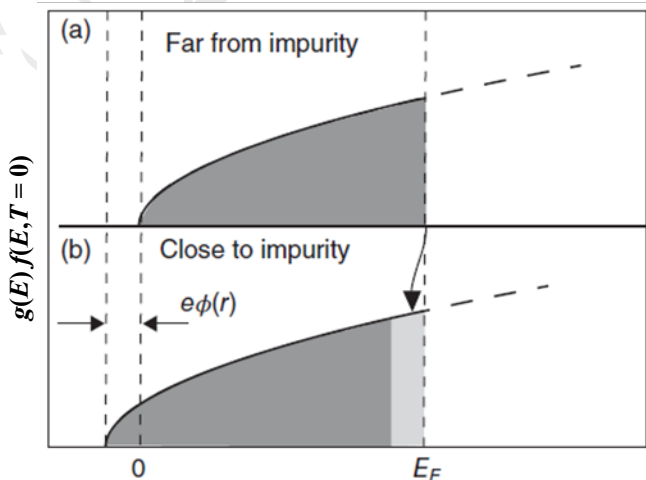
حيث  $r$  المسافة بدءاً من الشحنة النقطية  $q$  و  $\epsilon_0$  السماحية العازلية للخلاء.

وكما سنرى لاحقاً في **الفصل التاسع** لا تتغير هذه النتيجة كثيراً عندما نضع الشحنة النقطية **في عازل**؛ إذ علينا أن نستبدل  $\epsilon_0$  بـ  $\epsilon$  فقط، حيث  $\epsilon$  ثابت العزل للعازل. فينخفض الكمون الكلي بمقدار العامل الثابت  $\epsilon$ .

ولكن، إذا وضعنا الشحنة النقطية الموجبة **في فلز**، فإنها ستتجنب الإلكترونات المحيطة بها؛ **ويشكل مخالف** تماماً لحالة وضعها في عازل، تكون هذه الإلكترونات حرقة الحركة باتجاه الشحنة النقطية، مما يؤدي إلى **ظهور غمامه إلكترونية سالية** حول الشحنة النقطية الموجبة، **تُخفّض** الكمون الكلي بشدة عند المسافات الكبيرة. وهذا هو مفعول الحجب المعدني (الفلزي) الذي سنصفه الآن **كمياً**.

لدرس شحنة نقطية موجبة في فلز، يعطى كمونها  $\phi_0(r)$  بالعلاقة (20-6). هذا الكمون متوازن كروياً، يسبب ظهور **غمامه إلكترونية تحيط بالذرة الشائبة، كمونها**،  $\phi(r)$ ، أيضاً متوازن كروياً. يشير تركيب الكمونين إلى أن **الكمون الكلي يساوي**  $\phi(r) = \phi_0(r) + \phi_s(r)$ .

إذا فرضنا أن **طاقة الكامنة**،  $e\phi(r)$ ، صغيرة بالمقارنة مع طاقة فيرمي،  $E_F$ ، بحيث يتغير الكمون الكلي،  $\phi(r)$ ، ببطء في الفراغ، وأن درجة الحرارة تساوي  $0\text{ K}$ ، فيمكن وصف الحجب بالصورة التي يوضحها الشكل (7-6). في بعيداً عن الشائبة حيث الكمون،  $\phi(r)$ ، يساوي الصفر فعلياً، تمثل الحالات الفارغة من



**الشكل (7-6):** حجب شائبة مشحونة إيجابياً في فلز.

(a) كثافة الحالات المشغولة لفلز إلكتروني حر في درجة الصفر المطلق.

(b) الانزاحات الموضعية لطاقة الحالات الإلكترونية من أجل شائبة نقطية مشحونة إيجابياً. هذا ما يسمح للإلكترونات في فلز الانتقال من السكون إلى الحالات الجديدة المتاحة تحت طاقة فرمي (الساحة الرمادية الفاتحة)

الإلكترونات في الفلز حتى طاقة فيرمي، ولكن بجوار الشائبة، **"تشعر" الإلكترونات** بطاقة كهربائية إضافية من  $e\phi(r)$ ، بحيث تكون طاقات كل الحالات أقل. وهذا يوافق انتزاعاً لكثافة الحالات نحو الطاقات الأخفّ (من أجل شحنة نقطية موجبة)؛ وبدوره يؤدي هذا الانزياح إلى حالة، حيث بمقدور الإلكترونات الساكنة في البلازما، الانتقال إلى الحالات الطاقية الأخفّ المتاحة الواقعة بجوار الشائبة **وإسغالها** (الساحة الرمادية الفاتحة في الشكل 7b-6) حتى بلوغ وضع التوازن. وعندما، تساوي **كثافة الشحنة المترادمة** في جوار  $r$  إلى حاصل ضرب  $e$  - في أبعاد الساحة الرمادية الفاتحة، مما يؤدي إلى المساواة الآتية:

$$\rho(r) = -e \frac{1}{V} [g(E_F) f(E_F, 0)] e\phi(r) = -e^2 \frac{1}{V} g(E_F) \phi(r). \quad (21-6)$$

يمكن الاعتقاد بأن هذا التدفق للشحنة **سيؤدي** لانخفاض الشحنة في باقي الفلز؛ وهذا أيضاً صحيحاً، ولكن حجم الجسم الصلب  $V$ ، أفترض كبيراً جداً بالمقارنة مع المساحة حول الشائبة، بحيث يمكن إهمال هذا الانخفاض.

على الرغم من أننا نعرف الآن **كثافة الشحنة المتولدة بالكمون الكلي**، إلا أننا ما زلنا نجهل الكمون.

يمكنا إيجاد الكمون المجهول **بتطبيق** معادلة بواسون،  $\nabla^2\phi(\vec{r}) = -\rho(\vec{r})/\epsilon_0$ ، واستخدام العلاقة (21-6). فيما أن الكمون يتصرف بالانتظار الكروي، فإن كل شيء يتعلق بالمسافة،  $r$ ، فقط ولا توجد تابعية زاوية لهذا الكمون؛ فأفضل طريقة لحل المسألة المطروحة تكمن في كتابة مؤثر لابلاس،  $\nabla^2$ ، في الإحداثيات الكروية والاستفادة من كون  $\phi(\vec{r})$  يتصل بالمسافة  $r$  فقط ولا يتصل بالاتجاه. في هذه الحالة، نحصل على العلاقة الآتية:

$$\nabla^2\phi(\vec{r}) = \frac{\partial^2\phi(r)}{\partial r^2} + \frac{2}{r} \frac{\partial\phi(r)}{\partial r} = \frac{e^2}{V\epsilon_0} g(E_F) \phi(r). \quad (22-6)$$

$$\nabla^2\phi(\vec{r}) - \frac{e^2}{V\epsilon_0} g(E_F) \phi(r) = 0 \quad ; \quad \phi''(\vec{r}) - \frac{1}{r_{TF}^2} \phi(r) = 0.$$

ويجب الآن إيجاد حل لهذه المعادلة التفاضلية. في هذا السياق ليس صعباً أن نجد أن العلاقة الآتية (من خلال التعويض عنها في المعادلة (22-6)) هي حل لها:

$$\phi(r) = c \frac{1}{r} e^{-r/r_{TF}}, \quad (23-6)$$

حيث  $c$  ثابت و  $r_{TF}$  مقدار، يسمى طول حجب توماس-فيرمي ويُعطى بالعلاقة الآتية:

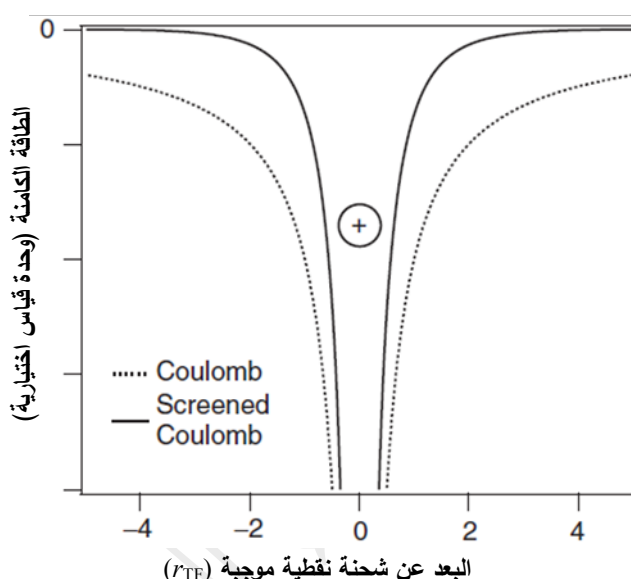
$$r_{TF} = \sqrt{\frac{V\epsilon_0}{e^2 g(E_F)}}. \quad (24-6)$$

يمكن تثبيت الثابت  $c$  في العلاقة (23-6) بأخذ علاقة كمون كولون غير المحجوب من أجل الشحنة النقطية الموجبة،  $\phi_0(r)$ ، في العلاقة (20-6)، واستعادتها من أجل حالة، تزول فيها كثافة الحالات عند طاقة فيرمي،  $g(E_F)$ ، إلى الصفر، أي عندما يصبح الفلز مشابهاً للخلاء. **ومن أجل**  $g(E_F)$  **صغيرة، ستكون المسافة**  $r_{TF}$  **كبيرة جداً** **والتابع الأسّي** في العلاقة (23-6) يبدو يقترب من الواحد،  $1 \rightarrow e^{-r/r_{TF}}$ . ولذلك يجب اختيار الثابت  $c$  بحيث تتحقق المساواة الآتية:

$$\phi(r) = \frac{1}{4\pi\epsilon_0} \frac{q}{r} e^{-r/r_{TF}}, \quad (25-6)$$

حيث  $c|_{r=r_{TF}} = r\phi_0(r)|_{r=r_{TF}} = \frac{q}{4\pi \epsilon_0 r_{TF}} = \frac{q}{4\pi \epsilon_0}$ ، ومن ثم تُؤيد النتيجة (6-25) نتائجًةٌ نهائيةً.

إنَّ قيمة  $r_{TF}$  في معظم الفلزات **صغيرةً جداً**، من رتبة  $\text{\AA}^1$ ، فضلاً عن أنَّ القسم الأسي في العلاقة (6-25) يجعل الكمون المحبوب (كمون الحجب) يتناقص على نفس تدرج الطول بسرعة أكبر بكثير من سرعة تناقص كمون كولون غير المحبوب (راجع الشكل (6-8)). وهذا يؤكد النتيجة المتوقعة، التي تنص على حدوث حجب الكمون الكهرباسكين في الفلز بسرعة كبيرة جداً. في الواقع، يمكن استخدام الحجب الفعال، كإثبات لكي نفسِّر لماذا تكون الإلكترونات حرَّة داخل الفلز في المقام الأول؛ فيحجب فعَّالاً كهذا، من غير الممكن جعل الإلكترونات تتموضع بجوار كمون الأيون، لأنَّ الكمون الأيوني المحبوب ضعيف جداً.



الشكل (6-8): الكمون الناتج عن شحنة نقطية موجبة تقع في فلزٍ ومقارنته مع كمون كولون الناتج عنها عند وجودها في الخلاء.

### 6-3 الشكل العام للحالات الإلكترونية The General Form of the Electronic States

يتضح مما سبق أن نموذج الإلكترونات الحرَّة يصف ظاهرة ما بحد ذاتها وصفاً جداً، ولكنه لا يزال يعاني من بعض العيوب الواضحة. لاسيما أنه يُعد نموذجاً جيداً لتوصيف الفلزات، ولكن ماذا عن المركبات نصف الفلزية (نصف الناقلة)؛ كالألamas أو السيلكون؟ كما يبيدو من الشكل (6-2)، تكمن الصفة المميزة لهذين المركبين في أن العصابة  $sp^3$  ممتهلة تماماً، ولا توجد حالات تتوزع مباشرةً فوق سقف هذه العصابة (فوق الجزء العلوي منها)، تستطيع الإلكترونات التهيج إليها. وهذا ما لم يؤخذ بالحسبان في نموذج الإلكترون الحر، الذي يضمن استمرارية الحالات من أخفض طاقة إلى الlanهية من دون انقطاع. ويمكن التأكيد من أن ذلك ليس صحيحاً حتى من أجل الفلز. فكما يتضح من الشكل (6-1d)، نصف العصابة  $3s$  ممتهل من أجل  $\text{Na}$ ، ولكن لهذه العصابة عرض محدود، أي أنه لا توجد حالات عند جميع الطاقات الممكنة. ولكن من الصعوبة بمكانته، أن يكون لذلك أهمية من أجل معظم الظواهر الفيزيائية؛ كالناقلية أو السعة الحرارية، التي طاقة تهيج الإلكترونات فيها، صغيرة جداً بالمقارنة مع عرض العصابة الطافية، ولكن حتى في مثل هذه الحالات، يعني نموذج الإلكترون الحر من بعض المشاكل؛ لذا نأخذ على سبيل المثال  $\text{Al}$  الذي يُعد فلزاً بسيطاً (وليس فلزاً انتقالياً) ويمكن توصيفه

جيّداً بوساطة نموذج الإلكترون الحر. ولكن حتى إشارة معامل هو  $R_H = -0.3$  في الجدول (1-5) ليست صحيحة والانتقال من التوصيف التقليدي إلى توصيف الإلكترون الحر الكوانتي لا يمكنه حل هذه المسألة. وأخيراً، يبقى نموذج **الميكانيك الكوانتي** للإلكترون الحر عاجزاً عن حل أكثر الأسئلة الأساسية أهمية لحركة الإلكترون في الأجسام الصلبة. ثمة مثال على أن طول المسار الحر الوسطي للإلكترونات يمكن أن يصل إلى مسافات جهيرية عند درجات حرارة منخفضة، ولكننا لا نفهم كيف يمكن للإلكترونات الانتقال عبر الشبكة البلورية للأيونات من دون أن تتبعثر؛ وهنا نموذج الإلكترون الحر لا يساعدنا في ذلك، طالما أنه يحمل وبساطة وجود الأيونات، ويبقى الجدال قائماً.

لكي نحرّز بعض التقدّم، لا بد من وصف حركة الإلكترونات في كمون شبكة بلورية دورية غير منتهٍ،

$$U(\vec{r}) = U(\vec{r} + \vec{R}) - \frac{\hbar^2 \nabla^2}{2m_e} \psi(\vec{r}) + U(\vec{r})\psi(\vec{r}) = E\psi(\vec{r})$$

بلوخ Bloch أن التابع الموجي العام الذي يحلُّ هذه المسألة يأخذ الشكل البسيط الآتي ويسمى **تابع بلوخ الموجي**

$$\psi_{\vec{k}}(\vec{r}) = u_{\vec{k}}(\vec{r}) e^{i\vec{k} \cdot \vec{r}}, \quad (26-6)$$

يمتاز تابع بلوخ هذا بأن مطاله  $(\vec{r}) u_{\vec{k}}$  التابع دورياً بشبكة بلورية برافيه البلورية:

$$u_{\vec{k}}(\vec{r}) = u_{\vec{k}}(\vec{r} + \vec{R}). \quad (27-6)$$

يجب الانتباه وعدم الخلط بين  $(\vec{r}) u_{\vec{k}}$  والكمون الدوري للشبكة البلورية،  $(\vec{r}) U$ . يعزى وجود الدليل  $\vec{k}$  إلى حقيقة أن التابع  $(\vec{r}) u_{\vec{k}}$ ، يمكن أن يتغيّر تبعاً للمتجه الموجي،  $\vec{k}$ .

وثمة طريقة أخرى للتعبير عن مبرهنة بلوخ، تكمن في استخدام دورية الشبكة البلورية للتابع  $(\vec{r}) u_{\vec{k}}$  ووضع شرط المساواة الآتي:

$$\psi_{\vec{k}}(\vec{r} + \vec{R}) = \psi_{\vec{k}}(\vec{r}) e^{i\vec{k} \cdot \vec{R}}. \quad (28-6)$$

قبل أن نثبت مبرهنة بلوخ سنذكر أحد أكثر نتائجها أهميةً:

- **الحل (26)** يشبه جداً حل الإلكترون الحر؛ فهو **موجة مستوية معدّلة بتابع دوري بشبكة بلورية**؛ وهذه الموجة بحد ذاتها هي حقيقة مميزة، لأنها تعني أن الحالات الإلكترونية تتوزّع في كامل البلورة، حتى وإن أدخلنا الكمون الدوري بشبكة بلورية! في الواقع، الكثافة الاحتمالية لإيجاد الإلكترون يمكن أن تتغير ضمن وحدة الخلية الواحدة، ولكنها **متطابقة من أجل الموقف الموافق في كل وحدة خلية** في الأجسام الصلبة. وهذا يعني أن الإلكترونات تجول في البلورة من دون أن ترتد عن أيونات الشبكة البلورية على الإطلاق، ما يعطي تفسيراً مباشراً لاحتمال أن يكون المسار الحر الوسطي طويلاً جداً وأطول بكثير من المسافة بين الأيونات.

- وفي حقيقة الأمر، إذا لم تتبعثر الإلكترونات في الفلز على الأيونات، فمن المتوقع أن تكون **المقاومة النوعية** للبلورة فلزية دوريتها متماثلة، **مساوية للصفر**. وسنرى لاحقاً أن مثل هذه الحالة موجودة فعلياً وسنناقش الآليات التي تجعل المقاومة النوعية محدودةً.

لإثبات صحة مبرهنة بلوخ نستخدم **أولاً**، كما في نموذج الإلكترون الحر، بلوحة مكعبية الشكل طول ضلعها  $L$  وشروطًا دوريّةً مناسبةً. وعندما، **تُعطى القيم المسموحة** للمتجه الموجي،  $\vec{k}$  ، بالعلاقة (6-5). **وثانياً** يمكن كتابة **كل حل** من حلول معادلة شرودنغر (6-1)، يتحقق مع هذه الشروط الدوريّة، **مجموع لوموجات مستوية**:

$$\psi_{\vec{k}}(\vec{r}) = \sum_{\vec{k}} c_{\vec{k}} e^{i\vec{k} \cdot \vec{r}}, \quad (29-6)$$

حيث تمثل  $\vec{k}$  القيم الممكنة للشروط الدوريّة؛ وتفرض المعاملات  $c_{\vec{k}}$  بحيث تأخذ بالحسبان تنظيم التوابع الموجية. **ثالثاً** يمكننا كتابة **الكمون الدوري** بدوريّة الشبكة البلورية على شكل سلسلة فورييه، باستعمال متجهات الشبكة المقلوبة،  $\vec{G}$  :

$$U(\vec{r}) = \sum_{\vec{G}} U_{\vec{G}} e^{i\vec{G} \cdot \vec{r}}. \quad (30-6)$$

وطالما نرغب في أن يكون الكمون كمية حقيقة، فلا بد من أن نشترط تحقيق المساواة الآتية:

$$U_{-\vec{G}} = U_{\vec{G}}^*. \quad (31-6)$$

يمكن الآن التعويض عن المنشورين في معادلة شرودنغر (6-1). وعندما يُصبح حد الطاقة الحركية من الشكل:

$$-\frac{\hbar^2 \nabla^2}{2m_e} \psi_{\vec{k}}(\vec{r}) = \sum_{\vec{k}} \frac{\hbar^2 k^2}{2m_e} c_{\vec{k}} e^{i\vec{k} \cdot \vec{r}}, \quad (32-6)$$

**وحد الطاقة الكامنة من الشكل:**

$$\begin{aligned} U(\vec{r}) \psi(\vec{r}) &= \left( \sum_{\vec{G}} U_{\vec{G}} e^{i\vec{G} \cdot \vec{r}} \right) \left( \sum_{\vec{k}} c_{\vec{k}} e^{i\vec{k} \cdot \vec{r}} \right) = \sum_{\vec{k}\vec{G}} U_{\vec{G}} c_{\vec{k}} e^{i(\vec{G} + \vec{k}) \cdot \vec{r}} \\ &= \sum_{\vec{k}'\vec{G}} U_{\vec{G}} c_{\vec{k}' - \vec{G}} e^{i\vec{k}' \cdot \vec{r}}. \end{aligned} \quad (33-6)$$

حيث استبدلنا في الخطوة الأخيرة، دليل المجموع  $\vec{k}' = \vec{G} + \vec{k}$  بالدليل  $\vec{k}$  بالدليل **هدف الحصول على نفس شكل الموجة المستوية**؛ كما في علاقة الطاقة الحركية. لقد سمح لنا "إِزاحة" الأدلة بمساعدة متجهات الشبكة المقلوبة كما رغبنا، طالما أن المجموع يمتد على كل متجهات الموجة الممكنة للشروط الدوريّة، أمّا متجهات الشبكة المقلوبة، فمن الواضح أنها تُعد مجموعات جزئية منها. إذا أردنا الآن إعادة تسمية الدليل  $\vec{k}'$  في عبارة الطاقة الكامنة إلى  $\vec{k}$ ، فيمكننا كتابة كامل معادلة شرودنغر بشكلٍ جديد، كما يأتي:

$$\sum_{\vec{k}} e^{i\vec{k} \cdot \vec{r}} \left\{ \left( \frac{\hbar^2 k^2}{2m_e} - E \right) c_{\vec{k}} + \sum_{\vec{G}} U_{\vec{G}} c_{\vec{k} - \vec{G}} \right\} = 0. \quad (34-6)$$

بما أن الموجات المستوية مختلفة المتجه الموجي،  $\vec{k}$  ، **متعمدة Orthogonal**، فإن كل معامل في المعادلة الأخيرة يجب أن يتلاشى لكي يتلاشى المجموع. وهكذا، تختزل معادلة شرودنغر إلى جملة من المعادلات:

$$\left( \frac{\hbar^2 k^2}{2m_e} - E \right) c_{\vec{k}} + \sum_{\vec{G}} U_{\vec{G}} c_{\vec{k} - \vec{G}} = 0. \quad (35-6)$$

بما أن المجموع (34-6) يشمل كل المتجهات الموجية،  $\vec{k}$  ، المنقولة مع الشروط الدوريّة الدورية، **فيمكننا اختيار  $\vec{k}$**  في المعادلة (35-6) **حيث تقع في منطقة بريليون الأولى**. تقنياً، المجموع بالنسبة للشبكة المقلوبة في

المعادلة (35-6) لانهائي. ولكن عملياً، يمكن وصف الكمون عادةً بعده قليلاً جداً من معاملات فورييه اللاصفرية،  $U_{\vec{G}}$ ، بحيث يكون المجموع قصيراً جداً. وعندما تنتج من المعادلة (35-6) علاقة بين  $c_{\vec{k}}$  والقيم  $c_{\vec{k}-\vec{G}}$ ، تكون من أجلها المعاملات،  $U_{\vec{G}}$ ، مختلفة عن الصفر ( $U_{\vec{G}} \neq 0$ )؛ ومن الواضح أنها ستكون معادلات متشابهة من أجل كل معامل من المعاملات  $c_{\vec{k}-\vec{G}}$ : فعلى سبيل المثال، إذا كانت  $0 \neq U_{\vec{G}}$ ، فيجب أن ندرس أيضاً المعادلة:

$$\left( \frac{\hbar^2 |\vec{k} - \vec{G}'|^2}{2m_e} - E \right) c_{\vec{k}-\vec{G}'} + \sum_{\vec{G}} U_{\vec{G}} c_{\vec{k}-\vec{G}'-\vec{G}} = 0. \quad (36-6)$$

إذن، تكمن المسألة هنا في إيجاد مجموعة من المعاملات؛  $c_{\vec{k}}$ ، و  $c_{\vec{k}-\vec{G}}$ ، الخ، التي تحل كل هذه المعادلات باًن معاً. سنشرح ذلك في الفقرة اللاحقة.

إذن، إن مسألة حل معادلة شرودنغر الآن أُخْتَرِلَت إلى حل جملة من المعادلات؛ كالمعادلة (35-6)، والمعادلة (36-6)، الخ، من أجل كل متوجه موجي،  $\vec{k}$ ، واقع في منطقة بريلوان الأولى. فمن أجل متوجه موجي،  $\vec{k}$ ، معطى، تحوي هذه المعادلات فقط المعاملات؛  $c_{\vec{k}}$ ، و  $c_{\vec{k}+\vec{G}}$ ، الخ، التي تُعيّن هذه المعاملات فقط. هذا يعني أنه من أجل  $\vec{k}$  محدّد، يحوي التابع الموجي (29-6) أيضاً، الحدود اللامتناهية بهذه المعاملات فقط، ولذلك، يمكن كتابتها بالشكل الآتي:

$$\psi_{\vec{k}}(\vec{r}) = \sum_{\vec{G}} c_{\vec{k}-\vec{G}} e^{i(\vec{k}-\vec{G})\vec{r}}. \quad (37-6)$$

والمعادلة الأخيرة تُكَافِئُ المعادلة الآتية:

$$\boxed{\psi_{\vec{k}}(\vec{r}) = e^{i\vec{k}\cdot\vec{r}} \left( \sum_{\vec{G}} c_{\vec{k}-\vec{G}} e^{-i\vec{G}\cdot\vec{r}} \right)}. \quad (38-6)$$

ندرك الآن أن الحد الواقع ضمن القوسين في المعادلة الأخيرة هو سلسلة فورييه بالنسبة لكل متجهات الشبكة المقلوبة، ومن ثم تابع دوريٌّ بدورية الشبكة البلورية؛ وبذلك تكون قد أثبتنا مبرهنة بلوخ.

نحصل من هذا البرهان مباشرةً على خاصية مهمة أخرى لتابع بلوخ. فإذا أخذنا المعادلة (37-6) وأزحنا المتوجه الموجي،  $\vec{k}$ ، بمقدار متوجه شبكة اختياري،  $\vec{G}'$ ، نجد:

$$\psi_{\vec{k}+\vec{G}'}(\vec{r}) = \sum_{\vec{G}} c_{\vec{k}-\vec{G}+\vec{G}'} e^{i(\vec{k}-\vec{G}+\vec{G}')\vec{r}} = \sum_{\vec{G}''} c_{\vec{k}-\vec{G}''} e^{i(\vec{k}-\vec{G}'')\vec{r}}, \quad (39-6)$$

حيث  $\vec{G}'' = \vec{G} - \vec{G}'$ .

في كل الأحوال تُجري الجمع على كل متجهات الشبكة المقلوبة، كما تعاملنا تماماً مع التابع  $(\vec{r}) \psi_{\vec{k}}$  الذي بدأنا منه. ولهذا السبب، يمكننا كتابة المساواة الآتية:

$$\psi_{\vec{k}+\vec{G}'} = \psi_{\vec{k}}(\vec{r}), \quad (40-6)$$

وعند التعويض عنها في معادلة شرودنغر نجد أن:

$$E(\vec{k} + \vec{G}') = E(\vec{k}). \quad (41-6)$$

دورية الكمون في الفراغ الحقيقي تُفسِّر دورية الحلول في الفراغ المقلوب، وهذا ما رأيناه أيضاً من أجل اهتزازات الشبكة البلورية.

#### 6-4 نموذج الإلكترون شبه- الحر Nearly Free Electron Model

لقد سمح لنا إثباتات مبرهنة بلوخ بإعادة كتابة معادلة شرودينغر (35-6) بشكل آخر أيضاً. من الملفت للنظر أن كل ما نحتاج فعله لتعيين الموجية الإلكترونية وطاقاتها من أجل أي جسم صلب ثلاثي البعد يمكن في إيجاد المعاملات الصحيحة،  $c_{\vec{k}}$ ، على فرض أننا نعرف الكمون مسبقاً. وطبعاً الصعوبة الفعلية هنا، تكمن في عدم معرفتنا للكمون من أجل أجسام صلبة حقيقة.

ولكن من المفيد جداً، حل المعادلة (35-6) من أجل جسم صلب ببعد واحد، وبثابت شبكة بلورية،  $a$ ، على فرض وجود كمون بسيط. والشبكة المقلوبة هنا مشمولة "بمتجهاً" بطول يساوي  $a = g = 2\pi/a$ ، ويمكن كتابة الكمون على شكل متسلسلة فورييه بالشكل الآتي:

$$U(x) = \sum_n U_n e^{inx} = U_0 e^0 + U_1 e^{igx} + U_{-1} e^{-ix} + \sum_{n \neq 0, \pm 1} U_n e^{inx}, \quad (42-6)$$

حيث تجري عملية الجمع على جميع الأعداد الصحيحة.

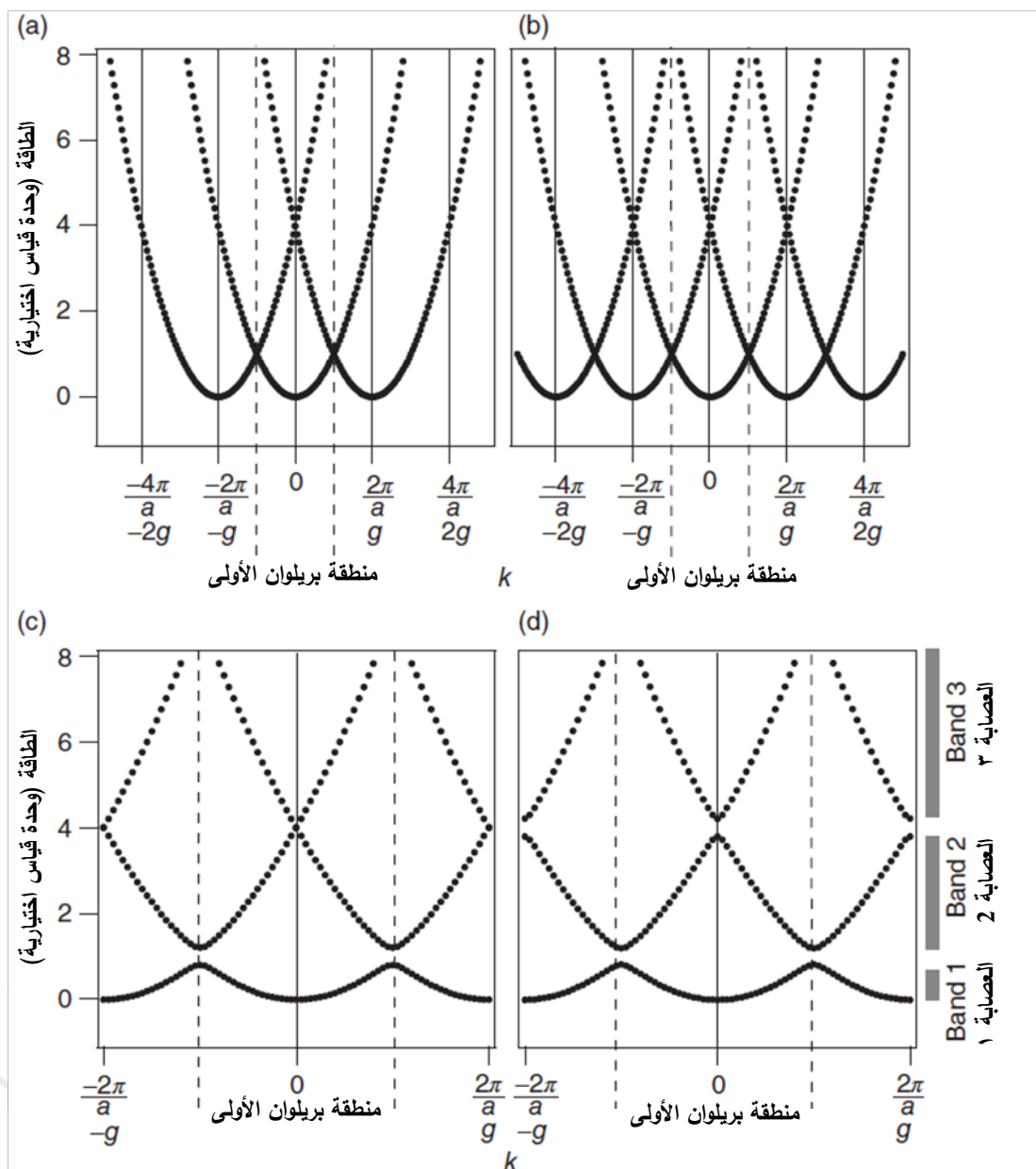
سنستعمل هنا كموناً بسيطاً جداً: يمكن وضع الحد  $U_0$  مساوياً للصفر، لأن انزياحاً ثابتاً للكمون لا يغير شيئاً باشتقاء الانزياح الثابت للقيمة الذاتية للطاقة. المعاملات التي سنحتفظ بها هي  $U_{-1} = U_1$  فقط، ونرمز لها بالرمز  $U$ .

**نبدأ باستعمال معامل،  $U$ ، صغير جداً.** عملياً، هذا يعني أننا نعالج **الكترونات حرة**، ولكن بوجود تمازن الشبكة البلورية: فمن أجل  $k$  معطى، يمكننا كتابة الكثير من المعادلات على شاكلة المعادلة (35-6)، وما نطلبه هنا، هو أن تختلف المعاملات  $c_k$ ، و  $c_{k-g}$ ، و  $c_{k+g}$  عن الصفر ليس أكثر، بحيث نحصل على جملة مكونة من ثلات معادلات. في الوقت الراهن لا يوجد أساس لهذه الحالة، ولكننا ندرس تبعات إدخال عدد كبير من المعاملات والمعادلات في المسألة المطروحة. إذ نحصل على جملة المعادلات الآتية:

$$\begin{aligned} \left( \frac{\hbar^2(k-g)^2}{2m_e} - E \right) c_{k-g} + U c_k &= 0, \\ \left( \frac{\hbar^2 k^2}{2m_e} - E \right) c_k + U c_{k-g} + U c_{k+g} &= 0, \\ \left( \frac{\hbar^2(k+g)^2}{2m_e} - E \right) c_{k+g} + U c_k &= 0. \end{aligned} \quad (43-6)$$

وهذه جملة خطية من المعادلات لها ثلاثة حلول من أجل كل قيمة للمتجه الموجي،  $k$ ، يوضحها الشكل (9a-6): حصلنا على ثلاثة قطوع مكافئة **Parabolas** **مطابقة لنتيجة الإلكترون الحر** التي يوضحها الشكل (3-6). **القطوع المكافئة متمركزة في نقاط الشبكة المقلوبة**  $0$  و  $g$  و  $-g$ . والدورية الناتجة متوقعة من المعادلة (41-6). المسألة الواضحة هنا تكمن فقط في عدم وجود قطوع مكافئة متمركزة من أجل متجهات الشبكة المقلوبة من مرتب أعلى؛ مثل  $2g$  و  $-2g$ ، وهذا ناتج في الواقع الأمر من حقيقة استعمالنا لثلاثة معاملات وثلاث معادلات فقط في الجملة (43-6). يمكننا توسيع الجملة (43-6) لتشمل خمس معادلات بخمسة معاملات من خلال دراسة المعاملين  $c_{k-2g}$  و  $c_{k+2g}$  أيضاً، والشكل (9b-6) يوضح نتيجة هذا الحساب: جوهرياً هي نفسها، كما في الشكل (9a-6)، مع فارق يكمن في أنه لدينا الآن خمسة قطوع مكافئة متمركزة عند  $0$  و  $g$  و  $-g$  و  $2g$  و  $-2g$ .

(ولكن لا توجد في الواقع الحال قطوع مكافئة متمركزة من أجل متجهات الشبكة المقلوبة من مراتب أعلى منها). نرى أن لإهمال المعاملات من مراتب أعلى **عاقبتان** في الحال الراهنة: **لم نحصل** على النتيجة الصحيحة **خارج** حدود منطقة بريلوان الأولى  **ولم نحصل** على النتيجة الصحيحة في منطقة بريلوان الأولى  **عند الطاقات العالية**، لأنه ينقصنا قطوع مكافئة من مناطق بريلوان المجاورة التي **تختزل إلى** منطقة بريلوان الأولى. وفي كل الأحوال



**الشكل (9-6):** الحالات الإلكترونية في نموذج الإلكترون شبه الحر من أجل متسلسلة أحادية البعد بطول وحدة الخلية  $a$ .

- (a) حلول المعادلات الثلاث (43-6) من أجل  $U=U_1=U_{-1}$ ؛
  - (b) حلول خمسة معادلات مشابهة لـ (43-6) من أجل  $U=U_1=U_{-1}$ ؛
  - (c) نفس (b) ولكن من أجل قيمة كبيرة لـ  $U$ ؛
  - (d) نفس (b) ولكن من أجل قيمة كبيرة لكل من  $U_1=U_{-1}$  و  $U_2=U_{-2}$ .
- ترمز القطع العريضة الرمادية الغامقة لإمكانية وجود مجالات التغير شبه المستمر (عصابات). توجد بين هذه المجالات فجوات طاقة.

النتيجة مشابهة جداً لنتيجة الإلكترون الحر، ولكنها تحقق أيضاً مطلب التاظر (6-41) الذي تفرضه الشبكة البلورية، على الأقل إلى مدى معين. إذا ركّزنا على منطقة بريلوان الأولى فقط، فإن الدورية (6-41) تؤدي إلى أن القطوع المكافئة، تبدو كما هي، معكسـة عند حد منطقة بريلوان، بحيث تُعد عصابة الطاقة الدنيا الثانية في منطقة بريلوان الأولى في حقيقة الأمر عصابة الطاقة ذاتها الموجودة في المنطقة الأولى، ولكنها متشكلـة في المنطقة المجاورة.

**ماذا يحدث إذا أخذنا الآن كمـون الشبـكة البلوريـة،  $U$ ، بالحسبـان أو بالأـخـرى إذا أخذـنا قـيمـاً أكبرـاً لـلكـموـن  $U$  في الـدرـاسـة؟** يـظـهرـ فيـ الشـكـلـ (6-9c)ـ الـذـيـ يـكـرـرـ حـالـةـ خـمـسـ مـعـادـلـاتـ منـ نوعـ المـعادـلـةـ (6-35):

- **تـكـمـنـ النـتـيـجـةـ الرـئـيـسـةـ لـوـجـودـ كـمـونـ شـبـكـةـ بلـورـيـةـ،  $U$ ـ، مـحـدـودـ فـيـ اـتسـاعـ فـجـوـاتـ الطـاقـةـ Gapsـ بـيـنـ**

**القطـوعـ المـكاـفـئـةـ عـنـ حـدـ منـطـقـةـ بـرـيلـوانـ؛**

- **وـالـحالـاتـ الطـاقـيةـ الآـخـرىـ لـاـ تـتأـثـرـ كـثـيرـاـ وـتـبـدوـ مـشـابـهـةـ جـداـ لـحالـاتـ إـلـكتـرونـ الحرـ.** وـمـعـ ذـلـكـ يـعـدـ هـذـاـ الـاتـسـاعـ بـمـثـابـةـ اـخـتـلـافـ أـسـاسـيـ عـنـ نـمـوذـجـ إـلـكتـرونـ الحرـ، لـأـنـ يـعـنيـ أـنـ الجـسـمـ الصـلـبـ لـمـ يـعـدـ يـنـصـفـ باـسـتـمـارـيـةـ الـحـالـاتـ مـنـ الطـاقـةـ الـأـدـنـىـ إـلـىـ الـلـانـهـاـيـةـ. فـيـ الـوـاقـعـ، نـحـصـلـ فـيـ هـذـهـ الـحـالـةـ عـلـىـ فـجـوـةـ عـصـابـةـ طـاقـةـ Band Gapـ، تـعـدـ مـجاـلـاـ مـنـ الطـاقـاتـ الـخـالـيـةـ تـامـاـ مـنـ الـحـالـاتـ الـكـمـوـمـيـةـ.

- **يـوـضـعـ الشـكـلـ (6-9d)**ـ مـفـعـولـ أـوـ نـتـائـجـ مـسـاـهـمـاتـ الـكـمـونـ مـنـ مـرـاتـبـ أـعـلـىـ مـنـ تـلـكـ الـمـأـخـوذـةـ فـيـ الشـكـلـ (6-9b)،ـ حـيـثـ لـمـ يـتـمـ اـخـتـيـارـ الـكـمـونـ  $U_1 = U_{-1}$ ـ وـحـسـبـ، بـلـ الـكـمـونـ  $U_2 = U_{-2}$ ـ أـيـضاـ، ليـكـونـ لـهـ قـيـمةـ مـحـدـودـةـ.

- **الـفـعـلـ الرـئـيـسـ لـوـجـودـ الـكـمـونـ  $U_2 = U_{-2}$ ـ بـقـيـمةـ مـحـدـودـةـ يـكـمـنـ فـيـ اـتسـاعـ إـضـافـيـ لـلـفـجـوـةـ الطـاقـيـةـ،**ـ وـلـكـنـ

**الـآنـ عـنـ نـقـاطـ نـقـاطـ نـقـاطـ عـنـ طـاقـاتـ أـعـلـىـ فـيـ مـرـكـزـ مـنـطـقـةـ بـرـيلـوانـ ( $k = 0$ )ـ.**

**بـشـكـلـ عـامـ، يـقـدـمـ حـلـ جـملـاـ مـنـ الـمـعـادـلـاتـ الـمـشـابـهـةـ لـلـمـعـادـلـةـ (6-43)ـ  $n$ ـ قـيـمةـ ذاتـيـةـ لـلـطـاقـةـ مـنـ أـجـلـ كـلـ**

**قـيـمةـ لـلـعـدـ الـمـوجـيـ،  $k$ ـ، أـوـ  $n$ ـ عـلـاقـةـ مـنـ النـوعـ ( $E_n(k)$ )ـ:**

- **يـشـمـلـ  $n$ ـ كـلـ الـأـعـدـادـ الصـحـيـحةـ الـمـوجـيـةـ وـ  $k$ ـ كـلـ الـقـيـمـ الـمـتـفـقـةـ مـعـ الشـرـوـطـ الـحـدـيـةـ الدـوـرـيـةـ.**

- **الـعـلـاقـاتـ ( $E_n(k)$ )ـ، هـيـ عـلـاقـاتـ تـبـدـدـ Dispersionـ مـنـ أـجـلـ الـحـالـاتـ إـلـكتـرونـيـةـ وـتـسـمـيـ عـادـةـ بـنـيـةـ عـصـابـاتـ الطـاقـةـ إـلـكتـرونـيـةـ Electronic Band Structureـ لـلـجـسـمـ الصـلـبـ.**

وـفـيـ هـذـاـ السـيـاقـ، يـؤـدـيـ العـدـ  $n$ ـ دـورـ دـلـيـلـ عـصـابـةـ طـاقـةـ؛ فـعـلـىـ سـبـيلـ المـثالـ، نـرـىـ فـيـ الشـكـلـ (6-9d)

**أـخـفـ عـصـابـتـيـ طـاقـةـ وـجزـءـاـ مـنـ عـصـابـةـ الطـاقـةـ التـالـيـةـ.**

يمـكـنـ أـنـ يـبـقـيـ تـفـسـيرـ الـمـتجـهـ،  $\vec{k}$ ـ، عـلـىـ أـنـهـ **المـتجـهـ الـمـوجـيـ لـمـوجـةـ بـلـوخـ**ـ، غـيـرـ أـنـهـ يـمـكـنـنـاـ إـظـهـارـهـ أـيـضاـ؛

عـلـىـ أـنـهـ **عـدـ كـوـانـتـيـ لـلـحـالـاتـ إـلـكتـرونـيـةـ**ـ فـيـ تـشـابـهـ تـامـ مـعـ دـورـ  $\vec{k}$ ـ فـيـ حـالـةـ اـهـتـزـازـاتـ الشـبـكـةـ الـبـلـورـيـةـ.

وـبـالـمـقـارـنـةـ مـعـ حـالـةـ الـفـيـزـيـاءـ الـذـرـيـةـ، يـمـثـلـ  $n$ ـ العـدـ الـكـوـانـتـيـ الرـئـيـسـ الـذـيـ يـحـدـدـ الـطـبـقـةـ (الـقـشـرـةـ)ـ الـحاـوـيـةـ عـلـىـ إـلـكتـرونـاتـ.

وـهـنـاكـ عـدـدانـ كـوـانـتـيـانـ آخـرـانـ هـماـ  $l$ ـ وـ  $m$ ـ، يـمـثـلـانـ مـتـحـولـيـ التـوـابـعـ التـوـافـقـيـةـ الـكـروـيـةـ الـتـيـ تـصـفـ الـجـزـءـ الـزاـوـيـ.

وـفـيـ هـذـاـ السـيـاقـ،  $l$ ـ وـ  $m$ ـ عـدـدانـ كـوـانـتـيـانـ مـرـتـبـانـ بـالـتـاظـرـ الـكـروـيـ لـلـذـرـةـ.

يـعـطـيـ التـاظـرـ فـيـ جـسـمـ صـلـبـ بـثـابـتـ الشـبـكـةـ الـبـلـورـيـةـ وـيـمـكـنـ إـظـهـارـ  $\vec{k}$ ـ فـيـهـ؛ بـمـثـابـةـ العـدـ الـكـوـانـتـيـ الـمـرـتـبـ بـهـذـاـ التـاظـرـ.

**أـصـبـحـ لـدـيـنـاـ آـخـرـ تـقـسـيرـانـ مـخـلـقـانـ لـ  $\vec{k}$ ـ؛ إـذـ يـمـكـنـ أـنـ يـبـدـوـ؛**

- كمتجهٍ موجيٍّ لموجة بلوخ أو كعدد كوانتي يصف الحالة التي تحوي الإلكترونون.
- من المهم أيضاً تفسير  $\hbar\vec{k}$  على أنه اندفاع الإلكترونات، كما في حالة الإلكترونات الحرة، ولكن هذا ليس صحيحاً، إذ يمكن التأكيد من ذلك بسهولة: نطبق مؤثر كمية الحركة،  $i\hbar\vec{\nabla}$ ، على تابع بلوخ (26)

(6)، فنحصل على المساواة الآتية:

$$-i\hbar\vec{\nabla}\psi_{\vec{k}}(\vec{r}) = \hbar\vec{k}\psi_{\vec{k}}(\vec{r}) - e^{i\vec{k}\cdot\vec{r}} i\hbar\vec{\nabla}u_{\vec{k}}(\vec{r}). \quad (44-6)$$

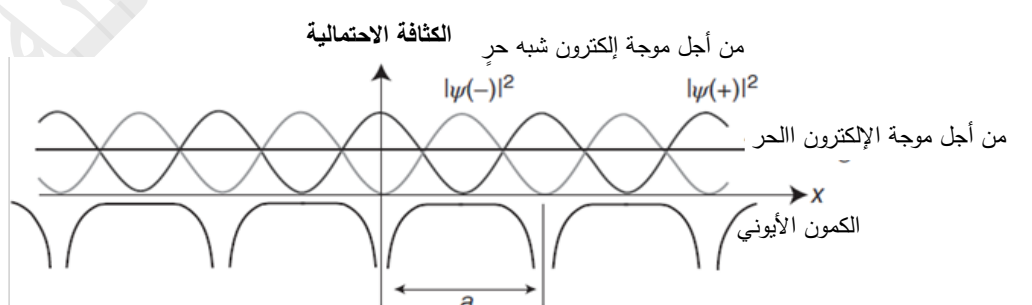
نرى هنا أن  $\hbar\vec{k}$  مجرد قيمة خاصة لاندفاع عندما  $u_{\vec{k}}$  ثابت، أي عندما يمثل تابع بلوخ موجة إلكترونية حرة: ✓ في الواقع، أصبح معلوماً لنا أن  $\hbar\vec{k}$  لا يمكن أن يكون اندفاعاً لموجة بلوخ لأن الحالات لا تتغير إذا أضفنا أو اخترلنا متوجه شبكة مقلوبة (راجع المعادلتين (6-40) و (6-41)), وهو الشيء ذاته الذي رأيناه عند دراستنا للفونونات أيضاً.

✓ ومع ذلك، يبقى المقدار  $\hbar\vec{k}$  كميةً مفيدةً، لأن قواعد الانحفاظ من أجل  $\vec{k}$  تطبق على عمليات التبعثر في الأجسام الصلبة.

✓ فبدلاً من "الاندفاع" البسيط، تسمى الكمية  $\hbar\vec{k}$ ، الاندفاع البلوري *Crystal Momentum*. خلافاً للاندفاع العادي الذي يكون مصاناً تماماً، يمكن للاندفاع البلوري أن يُصان فقط في إطار متوجه الشبكة المقلوبة.

ولندرس بمثابة مثال، عملية، يتبعثر فيها إلكترون طاقته  $E$  ومتوجهه الموجي  $\vec{k}$  بامتصاص فونون طاقته  $\hbar\omega$  واندفاعة  $\vec{q}$ . يمتلك الإلكترون المتبعثر طاقةً،  $E + \hbar\omega$ ، ومتوجههاً موجياً،  $\vec{G} + \vec{q} + \vec{k}$ . ومن ثم يكون لدينا انحفاظ للاندفاع البلوري (أو مجموع المتوجه الموجي) المشابه جداً لانحفاظ الاندفاع. سنتفهم معنى وقيمة  $\vec{k}$  بشكل أفضل عند دراستنا انتقال الطاقة الكهربائية عبر حالات بلوخ.

يمكن جعل ظهور فجوات الطاقة عند حد منطقة بريلوان قابلاً للتصديق أو موشقاً ببرهان بسيط جداً: لندرس ارتحال الإلكترون حر بشكل عمودي على مجموعة مستويات بلورية، التباعد فيما بينها يساوي  $a$ : إذا كان الاتجاه العمودي على المستويات هذه البلورية، فإن الإلكترون يمتلك التابع الموجي  $\psi(x) \propto e^{ikx}$  في ذاك الاتجاه، بمعنى أنه يسلك سلوكاً مشابهاً لسلوك موجة مستوية بطول موجة، يساوي  $\lambda = 2\pi/k$ ؛ ومثل هذا التابع يتحقق شرط براغ (3-1) من أجل قيمة  $k = n\pi/a$ . وهذا يعني أن الشبكة البلورية تعكس



الشكل (6-10): تفسير كيفي لاتساع فجوات الطاقة عند حد بريلوان. حيث يُظهر الشكل الكثافات الاحتمالية لموجتين إلكترونيتين مستقرتين ممكنتين بعدد موجي  $k$  يوافق حد المنطقة  $a/\pi$ . وهذه الكثافات إما تراكمية وإما مستنفدة في جوار الألباب الأيونية مقارنة بموجة الإلكترون الحر التي تمتلك كثافة احتمالية ثابتة.

الموجة بزاوية ما.

بما أن الجسم الصلب كبير جداً، فإن مطال الموجة المنعكسة سيكون في نهاية المطاف كمطال الموجة الواردة، يكون للتابع الموجي الكلي الشكل  $\psi(x) \propto e^{ikx} + A e^{-ikx}$  بطولية مطال تساوي الواحد،  $|A| = 1$ .

إن التناظر اليساري/اليميني للبلورة المفترض توافره هنا، يستوجب أن يكون المطال،  $A$ ، حقيقي ولذلك ثمة نتائجتان محتملتان ممثلتان بالتتابعين الموجيين:

$$\psi(+) \propto e^{i(\pi/a)x} + e^{-i(\pi/a)x} = 2 \cos\left(\frac{\pi}{a}x\right), \quad (45-6)$$

$$\psi(-) \propto e^{i(\pi/a)x} - e^{-i(\pi/a)x} = 2i \sin\left(\frac{\pi}{a}x\right). \quad (46-6)$$

وكلتاهم تمثلان موجات إلكترونية واقفة.

ترزاح كثافتهما الاحتمالية  $|\psi(+)|^2$  و  $|\psi(-)|^2$  بالنسبة للكمون الأيوني الموجب، كما في الشكل (6-10):

- يُظهر التابع الموجي  $(+)\psi$  تراكماً للاحتمالية بجوار القلوب الأيونية،

- في حين يُظهر التابع الموجي  $(-\psi)$  استناداً لها بذلك الجوار.

- ولذلك، يمتلك  $(+)\psi$  طاقة أدنى من تلك التي يمتلكها  $(-\psi)$  على الرغم من أن لكليهما المتجه الموجي ذاته،  $k = n\pi/a$ .

- ومن ثم، يوافق التابعان الموجيان  $(+)\psi$  و  $(-\psi)$  الحل تحت الفجوة الطاقية **فوقها** تماماً عند حد منطقة بريلوان، على الترتيب.

- نلاحظ أن هاتين الكثافتين الاحتماليتين مختلفتان تماماً عن حالة موجة الإلكترون حر، حيث كانت الكثافة الاحتمالية،  $|\psi|^2$ ، ثابتة.

توصلنا عند دراسة اهتزازات الشبكة البلورية إلى أن سرعة المجموعة لأمواج الشبكة البلورية تُعطى بالتغيير  $d\omega/dk$  حيث  $\omega$  تواتر الموجة و  $k$  المتجه الموجي. ولهذه العلاقة سلوك عام في نظرية الأمواج، ويمكن تبيان صلاحيتها من أجل موجات بلوخ أيضاً. ومن المناسب هنا كتابتها بالشكل الآتي:

$$v_g = \frac{d\omega(k)}{dk} = \frac{1}{\hbar} \frac{dE(k)}{dk}. \quad (47-6)$$

وبتعبير آخر، تُعطى سرعة المجموعة بميل *Slope* العصابات الطاقية.

فإذا درسنا الآن الشكلين (6-9c) و (6-9d) نجد أن سرعة المجموعة، للعصابات الطاقية بكمون دوري محدود، تساوي الصفر عند حدود منطقة بريلوان. وهذا يعني أنه لدينا في الحالة الراهنة، موجات واقفة، وهذا ما يتافق تماماً مع قمنا بإثباته. لا بد من ملاحظة أن سرعة المجموعة المساوية للصفر يجب أن تكون كذلك في الميكانيك الكوانتي. فإذا استطعنا قياس السرعة  $v_g$  من أجل رزمه موجية إلكترونية عند حد منطقة بريلوان، فإن القيمة المتوقعة يجب تكون صفراء؛ ولذلك لا يمكننا القول فيما إذا انتقلت الرزمه نحو الطرف اليمين أو الطرف الأيسر، ولكن هذا لا يعني أن الإلكترون لا يتحرك، فالقيمة المتوقعة من أجل الطاقة الحركية ليست صفراء.

## 6-5 نموذج الارتباط الشديد Tight-Binding Model

لقد بدأنا هذا الفصل بمناقشة نموذج وصفي للبنية الإلكترونية لأجسام صلبة تتجمع فيها مستويات الطاقة الذرية (العدد الكبير جداً من الذرات التي كانت هذه الأجسام) لتشكيل عصابة مستمرة من الحالات؛ إلا أننا تخلينا عن هذا التوصيف وتعاملنا مع الإلكترونات على أنها حرّة - تماماً *Free Electrons* أوًلاً ثم شبه- حرّة *Nearly Free Electrons* ثانياً. فعلياً، أدى ذلك إلى توزيع شبه مستمر *Quasi-continuous* لمستويات الطاقة بفجوات تفصل فيما بينها. نعود الآن إلى التوصيف الذي يبدأ بالحالات الذرية من خلال تصميمتابع موجة بلوك بتركيب خطي لمدارات ذرية (LCAO); تعرف هذه الطريقة بتقريب الرابطة الشديدة *Tight-Binding*.

- يُعد تقريب الإلكترون شبه- الحر الذي قمنا بدراسته في الفقرة الأخيرة أكثر من نقطة انطلاق طبيعية لوصف المعادن،
- في حين يُعد تقريب الرابطة الشديدة نقطة الانطلاق الأساسية من أجل البثورات المترابطة تساهمياً أو من أجل الإلكترونات الأكثر توضعاً في المعادن، كإلكترونات  $d$  في المعادن الانتقالية.
- وفي نهاية المطاف، كلا التقريبين جيدان وصفهما يؤدي إلى نتائج مرضية بعض الشيء. إلا أن دراسة تقريب الرابطة الشديدة هنا تسمح لنا بالحصول على نظرة أكثر عمقاً لمعنى بنية العصابات الطافية للأجسام الصلبة.

ندرس تقريب الرابطة الشديدة بأبسط أشكاله، إذ نبدأ من هامiltonون الذرات التي تؤلف الجسم الصلب (دراسة نوع واحد فقط من الذرات بغض النظر)، والذي يعطى بالشكل الآتي:

$$H_{\text{at}} = -\frac{\hbar^2 \nabla^2}{2m_e} + V_{\text{at}}(\vec{r}), \quad (48-6)$$

حيث  $V_{\text{at}}$  الكمون الذري - أحادي الإلكترون.

تمتلك الذرات سويات طاقة مختلفة،  $E_n$ ، وتتابع موجية موافقة لها. عندما نجمع الذرات مع بعضها بعضاً ككل، لتشكل جسماً صلباً، نتوقع أن تتحول كل سوية طاقية إلى عصابة طاقية في الجسم الصلب. يمكننا على سبيل المثال العودة إلى ذرات الـ Na التي تعرّفنا عليها في بداية هذا الفصل ودراسة العصابة الطافية الحاصلة من الحالة 3s ذات الطاقة  $E_{3s}$  والتتابع الموجي  $(\vec{r})$ .

إذا كان لدينا ذرة في كل نقطة من النقاط  $\bar{R}$  الواقعة على طول شبكة براغيف، فيمكننا كتابة الهاamilتون من أجل الجسم الصلب بالشكل الآتي:

$$H_{\text{sol}} = -\frac{\hbar^2 \nabla^2}{2m_e} + \sum_{\bar{R}} V_{\text{at}}(\vec{r} - \bar{R}) = -\frac{\hbar^2 \nabla^2}{2m_e} + V_{\text{at}}(\vec{r}) + \sum_{\bar{R} \neq 0} V_{\text{at}}(\vec{r} - \bar{R}). \quad (49-6)$$

- الح الأول هو الطاقة الحركية للإلكترون المفرد **الذي** ندرسها؛
- الح الثاني هو مجموع الكمونات الذرية لجميع الذرات في الجسم الصلب. وللكمون في هذا الهاamilتون دورية الشبيكة البلورية، كما يجب.
- يُظهر الطرف الأيمن من المعادلة أنه يمكننا تقسيم هذه الكمون، بأي طريقة نريدها، فعلى سبيل المثال: إلى كمون الذرة الواقعة في المبدأ،  $(\vec{r})$ ، وكمون باقي الجسم الصلب.

■ يمكن التعبير عن ذلك أيضاً بالكتابة الآتية:

$$H_{\text{sol}} = -\frac{\hbar^2 \nabla^2}{2m_e} + V_{\text{at}}(\vec{r}) + v(\vec{r}) = H_{\text{at}} + v(\vec{r}), \quad (50-6)$$

حيث

$$v(\vec{r}) = \sum_{\vec{R} \neq 0} V_{\text{at}}(\vec{r} - \vec{R}). \quad (51-6)$$

يمكن أن تظهر المعادلة (50-6) بمثابة هاملتون من أجل ذرة تقع في المبدأ مضاد إلى كمون تصحيح ما ناتج من كل الذرات الأخرى.

لدرس الحالة التي تكون فيها الذرات بعيدة جداً عن بعضها البعض. في هذه الحالة، يمكننا محاولة استعمال التوابع الموجية،  $\phi_n(\vec{r})$ ، العائد لسوبيات الطاقة الذرية،  $E_n$ ، لحساب القيم الخاصة الطافية للجسم الصلب. نحصل عنها على المعادلة الآتية:

$$\int \phi_n^*(\vec{r}) H_{\text{sol}} \phi_n(\vec{r}) d\vec{r} = \int \phi_n^*(\vec{r}) v(\vec{r}) \phi_n(\vec{r}) d\vec{r} = E_n - \beta, \quad (52-6)$$

حيث  $\beta$  مقدار انزياح صغير لسوبيه الطافية الذرية ينتج من وجود كمونات الذرات الأخرى.

إذا كانت الذرات بعيدة عن بعضها البعض كفايةً، فإن  $\beta = 0$  لأن التابع الموجي  $\phi_n(\vec{r})$  سيتفاصل حتى الصفر قبل أن يُصبح الكمون الناتج عن الذرات المجاورة عند الموقع  $\vec{R} \neq \vec{R}$  أكبر من الصفر بشكلٍ ملحوظ.

نرى بسهولة أن التابع الموجي الذي المتمركّز في أي موقع آخر،  $\vec{R}$ ، سيكون حلًّا لمعادلة شروبنغر أيضاً من أجل الهاملتون (49-6):

ل فعل ذلك، علينا فقط إعادة كتابة هاملتون بحيث يكون متتركزاً على الذرة في الموقع  $\vec{R}$  مضافاً إليه الكمون الناتج من كل الذرات الأخرى. وهكذا نجد أن نتيجة هذه المعالجة تكمن في الآتي:

من أجل جسم صلب مؤلف من  $N$  ذرة، نحصل على  $N$  حلًّا منطبقاً *Degenerate Solution* من أجل كل قيمة طافية خاصة للهاملتون الذري. بالطبع، هذا ما كان متوقعاً، طالما أن الذرات تكون بعيدة جداً عن بعضها البعض بحيث لا تتأثر فيما بينها. و"بنية عصابات الطاقة" الناتجة ستتألف من "عصابات" عند الطاقة  $E_n$  من دون أي تبدد.

ندرس الآن حالة أكثر أهميةً، تمتاز بوجود بعض التأثير بين الذرات المجاورة. ومن أجل ذلك، نكتب التابع الموجي للجسم الصلب؛ **كتريب خطّي للتوابع الموجية الذرية** في كل موقع،  $\vec{R}$ ، من موقع الشبكة البلورية:

$$\psi_{\vec{k}}(\vec{r}) = \frac{1}{\sqrt{N}} \sum_{\vec{R}} c_{\vec{k}, \vec{R}} \phi_n(\vec{r} - \vec{R}). \quad (53-6)$$

ستتضح فائدة عامل التنظيم لاحقاً ثم أن المعاملات  $c_{\vec{k}, \vec{R}}$  لم تُعين بعد؛ فهي ستعلق بالتجه الموجي،  $\vec{k}$ .  
✓ واستخدام التابع الموجية الذرية،  $\phi_n(\vec{r} - \vec{R})$ ، هنا قد لا يكون صحيحاً تماماً، لأن وجود ذرات أخرى يمكنه أن يُعدّل هذه التابع الموجية قليلاً.

وفي الحالة الراهنة نُفضل صرف النظر عن ذلك بغض النظر التبسيط.  
تُعين المعاملات  $c_{\vec{k}, \vec{R}}$  الآن من الشرط (53-6) الذي يشترط أن يسلك التابع الموجي للجسم الصلب،  
( $\vec{r}$ ، سلوك موجة بلوخ، إذا كانت حلًّا للمعادلة (49-6)). يمكن الحصول على ذلك باختيار المعاملات  
بحيث تتحوّل المعادلة (53-6) إلى الشكل الآتي:

$$\psi_{\vec{k}}(\vec{r}) = \frac{1}{\sqrt{N}} \sum_{\vec{R}} e^{i\vec{k} \cdot \vec{R}} \phi_n(\vec{r} - \vec{R}), \quad (54-6)$$

حيث يأخذ  $\vec{k}$  القيم التي تسمح بها الشروط الحديّة الدورية (5-6).

يُحقق التابع الموجي (54-6) شروط بلوخ بالشكل المنصوص عليه في المعادلة (28-6)، لأن:

$$\begin{aligned} \psi_{\vec{k}}(\vec{r} + \vec{R}') &= \frac{1}{\sqrt{N}} \sum_{\vec{R}} e^{i\vec{k} \cdot \vec{R}} \phi_n(\vec{r} - \vec{R} + \vec{R}') \\ &= \frac{1}{\sqrt{N}} e^{i\vec{k} \cdot \vec{R}'} \sum_{\vec{R}} e^{i\vec{k} \cdot (\vec{R} - \vec{R}')} \phi_n(\vec{r} - (\vec{R} - \vec{R}')) \\ &= \frac{1}{\sqrt{N}} e^{i\vec{k} \cdot \vec{R}''} \sum_{\vec{R}} e^{i\vec{k} \cdot \vec{R}''} \phi_n(\vec{r} - \vec{R}'') = e^{i\vec{k} \cdot \vec{R}''} \psi_{\vec{k}}(\vec{r}), \end{aligned} \quad (55-6)$$

$$\text{حيث } \vec{R}'' = \vec{R} - \vec{R}'$$

نستخدم الآن التابع الموجي (55-6) لحساب بنية عصابة الطاقة المطلوبة، ( $E(\vec{k})$ ، باستخدام الطريقة ذاتها التي  
تُستخدم من أجل **جزيء الهيدروجين**.

نفرض في الوقت الراهن، أن التابع الموجية مستنذمة بحسب أن:

$$E(\vec{k}) = \int \psi_{\vec{k}}^*(\vec{r}) H_{\text{sol}} \psi_{\vec{k}}(\vec{r}) d\vec{r} = \frac{1}{N} \sum_{\vec{R}, \vec{R}'} e^{i\vec{k} \cdot (\vec{R} - \vec{R}')} \int \phi_n^*(\vec{r} - \vec{R}') H_{\text{sol}} \phi_n(\vec{r} - \vec{R}) d\vec{r}, \quad (56-6)$$

- حيث يجري كلا المجموعين على كل المواقع (العقد) البلورية،
- وعلى الرغم من أن الجسم الصلب الذي نقصده هو جسم محدود، فيجب أن يبقى جسمًا صلباً في سياق  
الشروط الحديّة الدورية؛ بمعنى، حتى وإن افترينا من "سطح" من سطوه، يجب أن يستمر الجسم  
الصلب دورياً من الجهة المقابلة لهذا السطح.
- ولذلك كل المجاميع من أجل اختيار معين  $\vec{R}'$  تبقى نفسها ويمكننا التخلص من عملية الجمع  
المضاعف بالإقرار بأنه لدينا  $N$  جمعاً من هذه المجاميع.

إذا وضعنا اختيارياً  $\vec{R}' = 0$ ، نحصل على المعادلة الآتية:

$$E(\vec{k}) = \sum_{\vec{R}} e^{i\vec{k} \cdot \vec{R}} \int \phi_n^*(\vec{r}) H_{\text{sol}} \phi_n(\vec{r} - \vec{R}) d\vec{r}. \quad (57-6)$$

وي استخدام المعادلة (52-6) نستطيع كتابة العلاقة الأخيرة بالشكل الآتي:

$$E(\vec{k}) = E_n - \beta + \sum_{\vec{R} \neq 0} e^{i\vec{k} \cdot \vec{R}} \int \phi_n^*(\vec{r}) H_{\text{sol}} \phi_n(\vec{r} - \vec{R}) d\vec{r}. \quad (58-6)$$

يمكن الآن تجزئة التكامل في المعادلة (58-6) مع الأخذ بالحسبان المعادلة (50-6) إلى الشكل الآتي:

$$\begin{aligned} &\int \phi_n^*(\vec{r}) H_{\text{sol}} \phi_n(\vec{r} - \vec{R}) d\vec{r} \\ &= E_n \int \phi_n^*(\vec{r}) \phi_n(\vec{r} - \vec{R}) d\vec{r} + \int \phi_n^*(\vec{r}) v(\vec{r}) \phi_n(\vec{r} - \vec{R}) d\vec{r}. \end{aligned} \quad (59-6)$$

- وهنا يُهمَل عادةً التكامل الأول في الطرف الأيمن من المعادلة الأخيرة، لأنَّه يحوي تابعين موجبين في عقدتين بلوريتين مختلفتين وهما يتراکبان بشكِّل ضعيفٍ؛
- والتكامل الثاني في الطرف الأيمن صغير أيضًا ولنفس السبب، ولكنَّه عادةً ليس صغيراً جدًا، لأنَّ الكمون  $v(\vec{r})$  يتناقص إلى الصفر بسرعة أقل عندما يبتعد عن  $\vec{R}$ ، ولهذا السبب، يتزايد  $v(\vec{r})\phi_n^*(\vec{r} - \vec{R})$  في منطقة تراکبه مع  $(\vec{r} - \vec{R})$ .

نُدخل الآن الرمز الآتي إلى المعادلة (6-59):

$$\gamma(\vec{R}) = - \int \phi_n^*(\vec{r}) v(\vec{r}) \phi_n(\vec{r} - \vec{R}) d\vec{r}, \quad (60-6)$$

فنجُل على العلاقة النهائية الآتية من أجل بنية عصابة الطاقة استناداً إلى المعادلة (6-58):

$$E(\vec{k}) = E_n - \beta - \sum_{\vec{R} \neq 0} \gamma(\vec{R}) e^{i\vec{k} \cdot \vec{R}}. \quad (61-6)$$

تصف هذه المعادلة كيفية تحول السويات الذرية،  $E_n$ ، إلى عصابة طافية عند انتظام الذرات في شبكة بلورية.

نُعيَّن الآن بنية عصابات الطاقة هذه لسلسلة ذرية أحادية- وبعد، بثابت شبكة  $a$ ، على فرض أن العصابة الطافية تنتج من المدارات الذرية- $s$  ذات الطاقة  $E_s$ :

○ عملياً، تتطلب المعادلة (6-61) إجراء الجمع على كل الموضع (العقد) البلوري، ولكن طالما أن التوابع الموجية تتناقص بسرعة كبيرة جداً بعيداً عن موقع،  $\vec{R}$ ، تمركزها، يكون كافياً إهمال كل المساهمات في عملية الجمع - هذه المساهمات التي تتضمن متوجهات شبكة بلورية أكبر من وحدة خلية واحدة بعيداً عن المبدأ.

○ بهذا الشكل، نجد أن عملية الجمع في المعادلة (6-61) تقتصر فقط على أقرب المجاورات لذرة، عند  $+a$  و  $-a$ .

○ أضف إلى ذلك، بما أن التوابع الموجية الذرية- $s$  متناظرة كروياً، فإن  $\gamma(-a) = \gamma(a)$ ، ومن ثم نستطيع كتابة المعادلة الآتية:

$$E_s(\vec{k}) = E_s - \beta_s - \gamma_s (e^{ika} + e^{-ika}) = E_s - \beta_s - 2\gamma_s \cos ka, \quad (62-6)$$

حيث  $\beta_s$  هي قيمة  $\beta$  المحسوبة من أجل هذه العصابة- $s$ .

هذه النتيجة الممثلة بالمعادلة (6-62) هي العصابة الطافية الأدنى المرسومة في الشكل (11-6):

➤ فالعصابة- $s$  تملك أدنى طاقة عند النقطة  $k = 0$  وأقصى طاقة عند النقطة  $k = \pi/a$ ، أي أنها تقع في حدود منطقة برييلوان الأولى.

➤ نلاحظ أن التبدد الذي يظهر في الشكل (11-6)، وبطبيعة الحال في المعادلة (6-62)، مشابه جداً للعصابة الطافية الأدنى المحسوبة في تقرير الإلكترون شبه- الحر، في الشكل (9d-6)، بصرف النظر عن طريقة حسابها المختلفة كليةً.

➤ مركز العصابة- $s$  هنا منزاح عن الطاقة الذرية  $E_s$  بمقدار  $\beta_s$ ، وعادةً يكون هذا الانزياح صغيراً جداً.

يُعد تعليم هذه النتيجة لتشمل سويات طاقة ذرية أخرى بسيطة، والشكل (11-6) يوضح أيضاً نتيجة الحساب من أجل العصابة الطاقية التالية، الناتجة من **السوية الذرية-p**. ونرى مرة أخرى، أن هذه العصابة مشابهة جداً لنتيجة تقارب الإلكترون شبه-الحر، التي يوضحها الشكل (9d-6).

وجدنا هنا أيضاً فجوة عصابة طاقية عند النقطة  $k = \pi/a$  : تحدد أبعاد هذه الفجوة:

- بالفاصل الطaci بين السويات-s والسويات-p,
- والفارق بين الانزياحين  $\beta_p$  و  $\beta_s$  ، وعرض العصابتين الطاقيتين.

### من المهم دراسة العوامل التي تؤثر في العرض الطaci المطلق لعصابة من العصابات الطاقية. يعطى

هذا العرض في نموذج البعد الواحد، الذي ندرسه في هذه الفقرة، بالكمية  $2\gamma_s$  ، حيث

ينشأ العامل 2 من عدد المجاورات الأقرب للذرة المعطاة؛ وينشأ العامل  $\gamma_s$  من تراكب التوابع الموجية والكمون.

فالعدد التساندي Coordination Number العالي للذرات، الذي يكون متوفراً عادةً في البنى المتراسقة للمعادن، يُنتج عرض عصابة طاقة كبيراً.

لقيمة  $\gamma_s$  أهمية أكبر عادةً في تحديد عرض العصابة الطاقية بسبب التناقص الشديد جداً للتتابع الموجية عند ابتعادها عن النواة.

فمن أجل بنية ما معطاة، سيؤدي تابع موجي ذريّ ما متوضع بشدة بجوار النواة إلى عصابة طاقة أضيق بشكل ملحوظ من عصابة الطاقة التي يؤدي إليها تابع موجي أقل توضعاً.

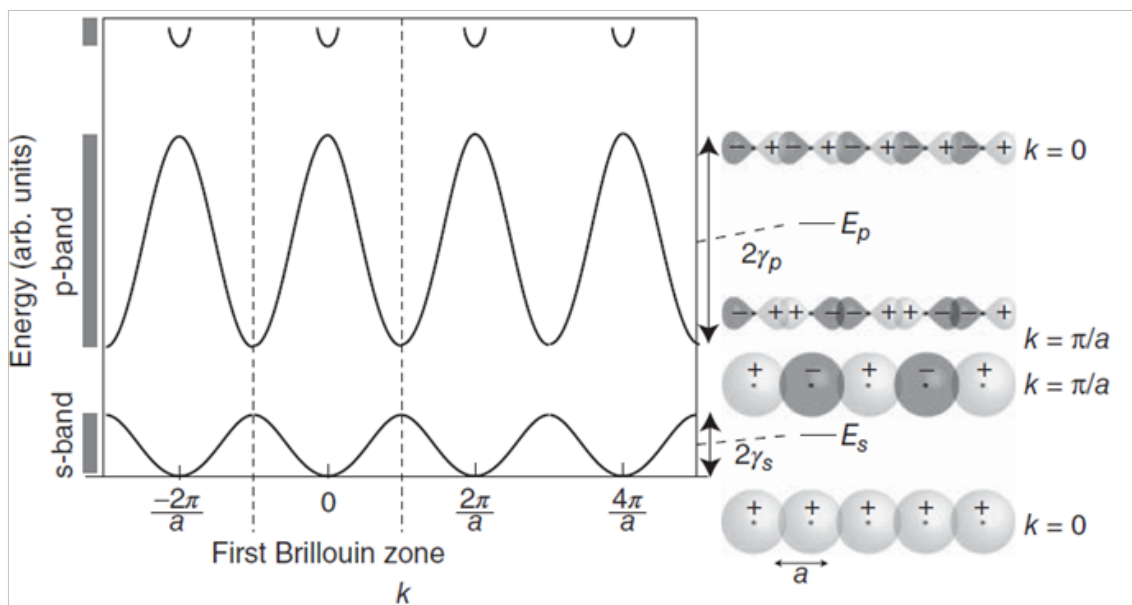
فعلى سبيل المثال: تؤدي سوية ذرية-3d إلى عصابة طاقة أضيق بكثير من تلك العصابة التي تؤدي إليها السوية-4s، على الرغم من أن السويات الذرية متشابهة جداً بالطاقة.

ثمة حالة حديّة لتتابع موجي متوضع، تتمثل في السوية الداخلية (1s) لذرة تقيلة: فالتابع الموجية 1s للذرات المتجاوحة لا تترافق على الإطلاق في الجسم الصلب **والعصابة-1s** الناتجة، تمتلك عرضاً قريباً من الصفر، أي أنها مستوية بالكامل؛ إذ تحافظ بسلوكها الذري المتوضع.

وأخيراً، من المهم بمكان تمثيل تتابع بلوح الموجية (54-6) في نموذج الترابط الشديد. يُظهر الشكل (11-6) موجات بلوح هذه من أجل العصابتين-s و-p عند النقطة  $k = \pi/a$  وحدّ منطقة بريلوان، :

فمن أجل  $k = 0$  ، كل تابع من التتابع الأسية في المعادلة (54-6) يساوي للواحد وعندما يُمثل التابع الموجي ( $\bar{r}_k$ ) ببساطة مجموعاً، يجري على المدارات في جميع عقد الشبكة البلورية. وهذا يؤدي، من أجل المدارات-s إلى ازدياد الكثافة الاحتمالية بين الذرات، أي إلى نوع من "المدار الجزيئي الرابط".

أمّا من أجل  $k = \pi/a$  ، فتؤدي التتابع الأسية في المعادلة (54-6) إلى تغير الإشارة، عند الانتقال بمقدار ثابت شبكة واحد،  $a$  ، على طول السلسلة الذرية. وهذا ما تم الإشارة إليه في الشكل (11-6) **بتتابع موجية متوضعة** (موجية) بلون رمادي فاتح و(سالبة) بلون رمادي غامق. وهذا بدوره، يؤدي لاستفاد الكثافة الاحتمالية بين الذرات، أي إلى "مدار جزيئي ضعيف الترابط" .



**الشكل (6-11):** عصابات طاقة من أجل جسم صلب وحيد بعد تم حسابها بوساطة تفريغ الرابطة الشديدة. تظهر الجهة اليمنى توابع بلوك الموجية من أجل العصابة-s والعصابة-p عند  $k = 0$  و  $k = \pi/a$ . ترمز النقط السوداء إلى موقع النوى واللون الرمادي المختلف التباين يرمز إلى إشارة التابع الموجي.

وهذا ما يتفق مع الطاقات في العصابة-s:

✓ فالطاقة من أجل الحالة الرابطة عند  $k = 0$  منخفضة؛

✓ والطاقة من أجل الحالة غير الرابطة عند  $k = \pi/a$  عالية.

**والعكس صحيح من أجل العصابة-p:**

فيإشارة التابع الموجي-p الذري تتغير عند الانقلاب المكاني (تملك قطبية فردية)، ولهذا السبب،

✓ تؤدي إضافة المدارات-p المتقدمة في الطور من أجل  $k = 0$  إلى حالة عكسية الترابط،

✓ أمّا إضافتها مع تغير الإشارة في كل عقدة أخرى، من أجل  $k = \pi/a$ ، فتؤدي إلى حالة رابطة.

وهذا ما يتفق مرةً أخرى مع التبدد المحسوب. يمكننا أيضًا ربط هذا التوصيف بتفسير التوابع الموجية، في نموذج الإلكترونات شبه-الحرة، بجوار حد منطقة بريليون في الشكل (6-10).

■ **يوافق التابع الموجي (+)** الذي يمتلك الطاقة الأخفض، عند النقطة  $k = \pi/a$ ، التابع الموجي s، الذي يتفق هنا مع تراكم الكثافة الاحتمالية بالقرب من القلوب الأيونية.

■ أمّا التابع الموجي (-) الذي يؤدي إلى الحالة الطاقية الأعلى عندما  $k = \pi/a$ ، ذات عقدة الكثافة الاحتمالية عند القلوب الأيونية **فيوافق** التابع الموجي p، الذي يمتلك عقدة هنا أيضًا.

■ تجدر الإشارة إلى أن هذه المقارنة هي مقارنة وصفية أي أن الكثافات الاحتمالية الإجمالية في نموذج الإلكترونات شبه-الحرة، وفي نموذج الترابط الشديد ليست نفسها على الإطلاق، ومع ذلك، فإن هذه المقارنة توضح تنازع بعض التفاصيل في كلا التوصيفين.



A to Z مكتبة